



۱۳۰۷

دانشگاه صنعتی خواجه نصیرالدین طوسی

دانشکده‌ی مهندسی هوافضا

گزارش پروژه‌ی پایان ترم درس شناسایی سیستم و تخمین پارامترهای پروازی

عنوان:

شناسایی سیستم دینامیکی فضاپیما و کدنویسی مطالب تدریس شده در طول
ترم

نگارش:

مهسا آزادمنش

استاد درس:

جناب آقای دکتر خوشنود

فروردین ۱۴۰۰

الحمد لله الذي
خلقنا من
الحمم

چکیده

در این پروژه ابتدا مدل دینامیکی فضاپیما در نزدیکی سیارک اروس ۴۳۳ با نظر گرفتن گرانش سیارک و نیروهای اغتشاشی تعریف می‌شود. هدف، شناسایی سیستم تعریف شده و تخمینی از پارامترها است. این امر مستلزم اعمال ورودی پایا به سیستم است. ابتدا با شبیه‌سازی در نرم‌افزار متلب ورودی و خروجی مطلوب به دست می‌آید. سپس با استفاده از روش تخمین مبتنی بر خطای پیش‌بینی با ضریب فراموشی متغیر شناسایی سیستم انجام می‌شود. روش مد نظر یک شناسایی جعبه سفید است و در آن تک‌تک پارامترها مجاسبه می‌شوند. در ادامه با در نظر گرفتن سیستم به صورت جعبه سیاه، یک‌بار دیگر کار شناسایی سیستم با شبکه عصبی مصنوعی انجام می‌گردد. از آنجایی که نیاز است تمام مطالب تدریس شده به نوعی در پروژه اعمال شود یک سیستم جرم و فنر نیز در بخش دوم پروژه برای اعمال مطالبی مانند تبدیل Z و غیره در نظر گرفته شده است که کار نهایی با توجه به جزوه‌ی درسی تکمیل باشد.

واژه‌های کلیدی: شناسایی سیستم، اروس ۴۳۳، گرانش سیارک، اغتشاش، تخمین مبتنی بر خطای پیش‌بینی با ضریب فراموشی متغیر، تخمین پارامتر، شبکه عصبی، تبدیل Z

فهرست مطالب

صفحه	عنوان
۱	فصل اول: مدل دینامیکی فضاپیما
۱	تعریف مسئله
۱	مدل دینامیکی
۱	طراحی کنترلکننده
۲	شناسایی سیستم بر اساس خطای پیشین
۳	فصل دوم: شبیه‌سازی و نتایج روش خطای پیشین
۳	شبیه‌سازی
۴	نتایج شبیه‌سازی
۷	نتیجه گیری
۸	فصل سوم: تکرار روش با شبکه عصبی چند لایه
۸	شناسایی با شبکه عصبی
۱۱	نتایج شبکه عصبی
۱۴	فصل چهارم: اعمال دو روش LS و RLS
۱۴	شناسایی سیستم با روش LS
۲۰	شناسایی سیستم با روش RLS
۲۶	پیوست ۱
۲۹	پیوست ۲
۳۳	پیوست ۳
۳۵	پیوست ۴
۳۷	پیوست ۵
۳۹	پیوست ۶
۴۲	منابع

فصل اول: مدل دینامیکی فضاپیما

تعریف مسئله

هدف این پژوهش شناسایی مدل دینامیکی یک فضاپیما حول سیارک اروس ۴۳۳ است. در این پروژه مدل دینامیکی فضاپیما در نزدیکی سیارک، با نظر گرفتن گرانش سیارک و نیروهای اغتشاشی تعریف می‌شود. هدف، شناسایی سیستم تعریف شده و تخمینی از پارامترها است. این امر مستلزم اعمال ورودی پایا به سیستم است. ابتدا با شبیه‌سازی در نرم‌افزار متلب ورودی و خروجی مطلوب به دست می‌آید. در ادامه با استفاده از روش تخمین مبتنی بر خطای پیش‌بینی با ضریب فراموشی متغیر شناسایی سیستم انجام می‌شود. در این فصل به توضیح دینامیک سیستم و روند شناسایی سیستم پرداخته شده است.

مدل دینامیکی

مدل دینامیکی سیستم طبق رابطه‌ی زیر به دست می‌آید.

$$\begin{aligned}\ddot{x} &= 2\omega\dot{z} + \frac{F_x}{m_c} + U_x + \delta_x \\ \ddot{y} &= -\omega^2 y + \frac{F_y}{m_c} + U_y + \delta_y \\ \ddot{z} &= -2\omega\dot{x} + 3\omega^2 z + \frac{F_z}{m_c} + U_z + \delta_z\end{aligned}$$

که x, y, z موقعیت فضاپیما نسبت به دستگاه مختصات در مرکز جرم سیارک و ω بیانگر سرعت زاویه ای سیارک است. برای سادگی حرکت سیارک در مدار دایروی فرض شده است. F_x, F_y و F_z نیز بیانگر نیروی های کنترلی، m_c جرم فضاپیما، U_x, U_y و U_z پتانسیل گرانشی سیارک و δ_x, δ_y و δ_z نیز نیروهای اغتشاشی هستند. تابع پتانسیل مطابق با رابطه زیر به دست می‌آید.

$$U(R) = \frac{GM_B}{R} \sum_{l=0}^{\infty} \sum_{m=0}^l \left(\frac{R_B}{R}\right)^l \bar{P}_{l,m}[\sin(\varphi)] (\bar{C}_{l,m} \cos(m\lambda) + \bar{S}_{l,m} \sin(m\lambda))$$

که در آن R فاصله از فضاپیما تا مرکز جرم سیارک، φ زاویه عرضی، λ زاویه طولی، M_B جرم سیارک، R_B شعاع مرجع سیارک، $\bar{P}_{l,m}$ ضرایب لژاندر، $\bar{C}_{l,m}$ و $\bar{S}_{l,m}$ ضرایب استوکس هستند.

طراحی کنترل کننده

با استفاده از کنترل مود لغزشی که با توجه به ماهیت غیرخطی سیستم در مقابل اغتشاشات و سایر نیروهای خارجی مقاوم است خروجی مطلوب حاصل می‌شود. طراحی کنترلر با تعریف سطح لغزش

$$s = \dot{e} + \lambda_a e$$

که در آن e خطا و λ_a ضریب وزن دهی است و با استفاده از رابطه $\dot{s} = 0$ و تعیین ورودی کنترلی u_{eq} انجام می‌شود. با تعریف $u_r = -k * \text{sign}(s)$ ورودی کنترلی به صورت زیر تعریف می‌شود.

$$u = u_{eq} + u_r$$

در کدهای موجود در پیوست ۲ معادلات فوق بیان شده‌اند.

شناسایی سیستم بر اساس خطای پیش‌بین

ابتدا سیستم در نرم‌افزار متلب شبیه‌سازی می‌شود که به دلیل ناپایدار بودن سیستم با طراحی کنترل کننده مود لغزشی ورودی کنترلی به دست می‌آید. در ادامه با داشتن ورودی و خروجی سیستم، مدل دینامیکی شناسایی می‌شود. یکی از روش‌های شناسایی تخمین پارامترهای سیستم بر اساس خطای پیش‌بینی است. در این روش مدل سیستم به صورت پارامتری خطی تبدیل می‌شود که در مورد سیستم‌های خطی کاربرد دارد. سیستم فوق به دلیل ترم‌های پتانسیل گرانشی دارای ماهیت غیر خطی است. اما می‌توان آن را به صورت رگرسیون خطی نوشت.

هدف از شناسایی به کارگیری مدلی برای شناسایی تابع پتانسیل و اغتشاشات و تخمین پارامترهای m_c و ω است. مدل سیستم به صورت پارامتری خطی مطابق رابطه‌ی زیر بیان می‌شود.

$$y = W\varphi$$

که φ بیانگر خروجی سیستم، W ماتریس رگرسیو و φ بردار پارامترهای سیستم است. بنابراین سیستم ما به صورت زیر تبدیل می‌شود.

$$\hat{y} = W\hat{\varphi}$$

$$\begin{bmatrix} \ddot{x} \\ \ddot{y} \\ \ddot{z} \end{bmatrix} = \begin{bmatrix} F_x & \hat{U}_x & \ddot{z} & 0 \\ F_y & \hat{U}_y & 0 & -y \\ F_z & \hat{U}_z & -\ddot{x} & \ddot{z} \end{bmatrix} \begin{bmatrix} 1 \\ m_c \\ \omega \\ \omega^2 \end{bmatrix}$$

که \hat{U}_x ، \hat{U}_y و \hat{U}_z تخمین تابع پتانسیل و اغتشاشات است که به صورت سیستم مرتبه دو مدل می‌شود.

$$y - \hat{y} = e = [\ddot{x} \ \ddot{y} \ \ddot{z}]^T - W\hat{\varphi}$$

که e برابر با خطا است. و بردار پارامترها طبق رابطه زیر تخمین زده می‌شود.

$$\dot{\hat{\varphi}} = -P(t)W^T e$$

که P ماتریس بهره تخمین‌گر است و از رابطه زیر به دست می‌آید.

$$\dot{P} = \lambda(t)P - PW^TWP$$

که $\lambda(t)$ ضریب فراموشی است و برای بهبود ردیابی پارامترها استفاده می‌شود. و از رابطه زیر حاصل می‌شود.

$$\lambda(t) = \lambda_0 * \left(1 - \frac{\|P\|}{k}\right)$$

که k بهره‌ای است که بر سرعت همگرایی پارامترها تاثیر دارد و λ_0 ضریب فراموشی ثابت است.

فصل دوم: شبیه‌سازی و نتایج روش خطای پیش‌بین

شبیه‌سازی

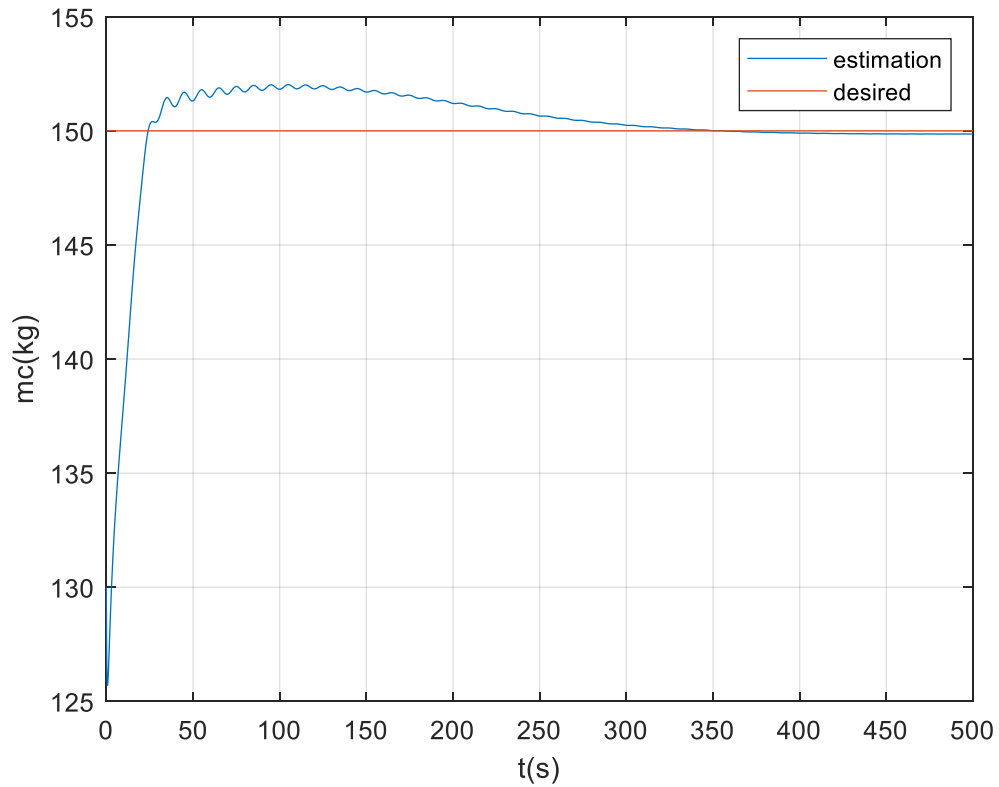
مقادیر پارامترهای سیستم به صورت زیر تعریف می‌شود.

جرم فضاپیما	m_c	۱۵۰ (kg)
سرعت زاویه ای سیارک	$\omega = \sqrt{\frac{\mu}{r_a^3}}$	۱.۱۲e-۷(rad/s)
فاصله سیارک از خورشید	r_a	۲۱۶۶۹۶۳۴۲(km)
جرم سیارک	m_a	۶.۶۸۷e۱۵(km)
شعاع مرجع سیارک	R_B	۱۶(km)

شرایط اولیه نیز به صورت $R. = [-۵ \ ۰ \ -۱۵](km)$ و $\dot{R}. = [۰ \ ۴۰ \ ۰](\frac{m}{s})$ در نظر گرفته می‌شود و فرض می‌شود اغتشاش $\delta = ۱e - ۵ * \sin(۰.۲\pi t)$ به سیستم وارد می‌شود.

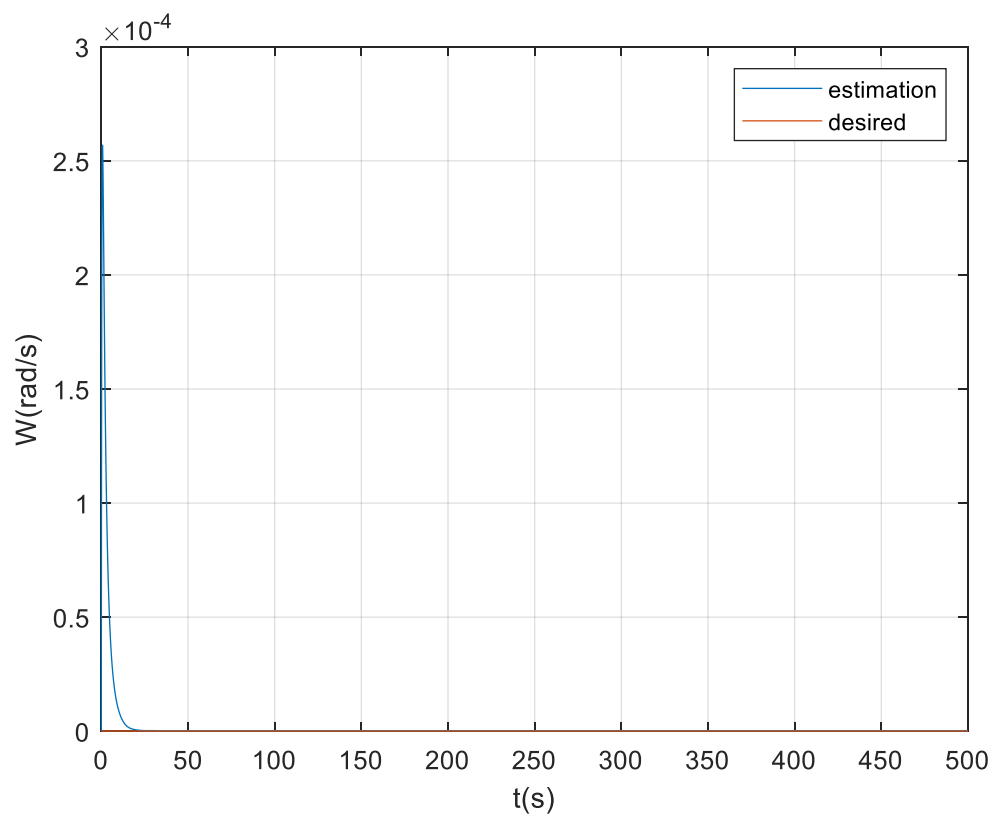
نتایج شبیه‌سازی

نتایج حاصل از شبیه‌سازی برای تخمین پارامترها و شناسایی سیستم در شکل‌های زیر آورده شده است. مطابق با شکل (۱) پارامتر جرم به مقدار مطلوب ۱۵۰ کیلوگرم همگرا می‌شود.



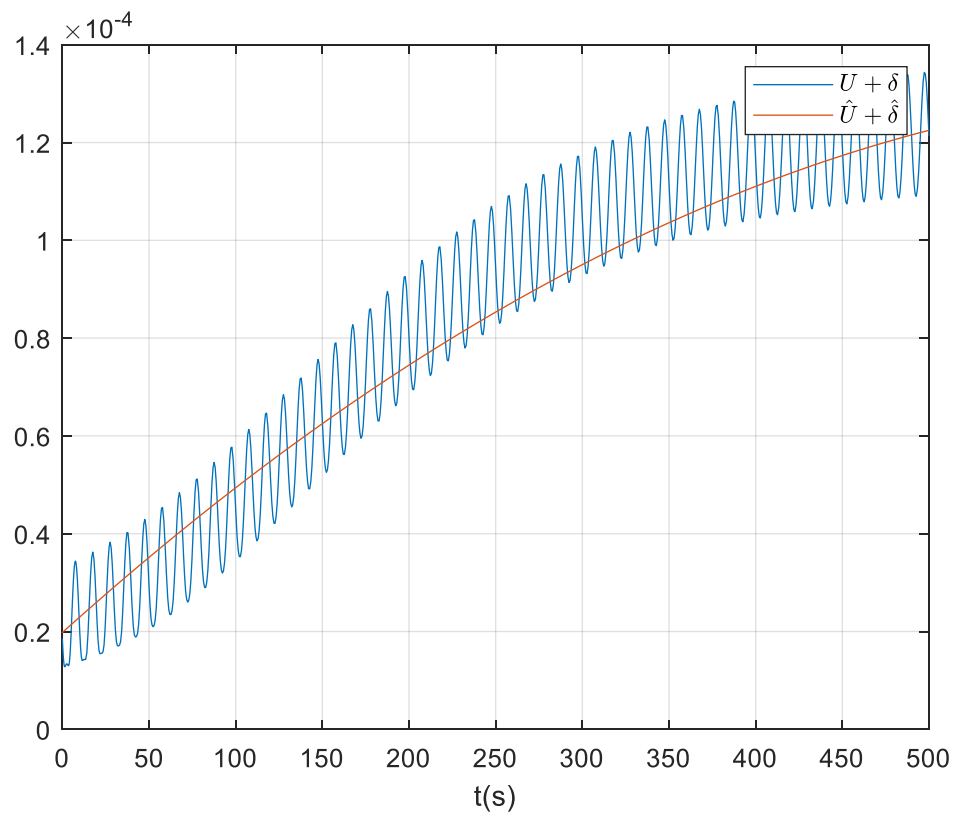
شکل ۱: پارامتر جرم

مطابق با شکل (۲) نیز پارامتر سرعت زاویه‌ای سیارک به مقدار مطلوب همگرا می‌شود.

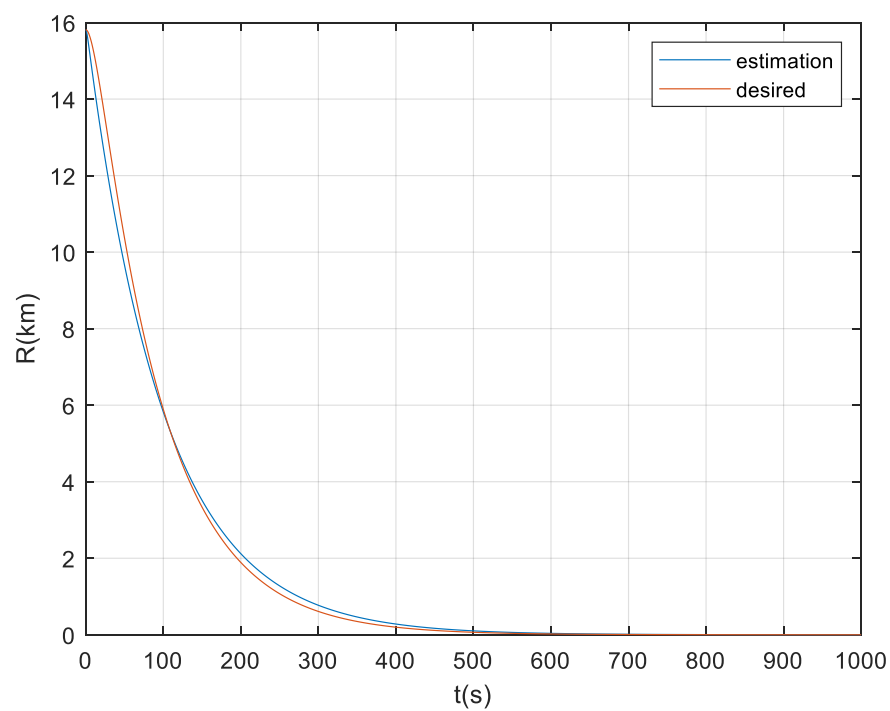


شکل ۲: پارامتر سرعت زاویه‌ای

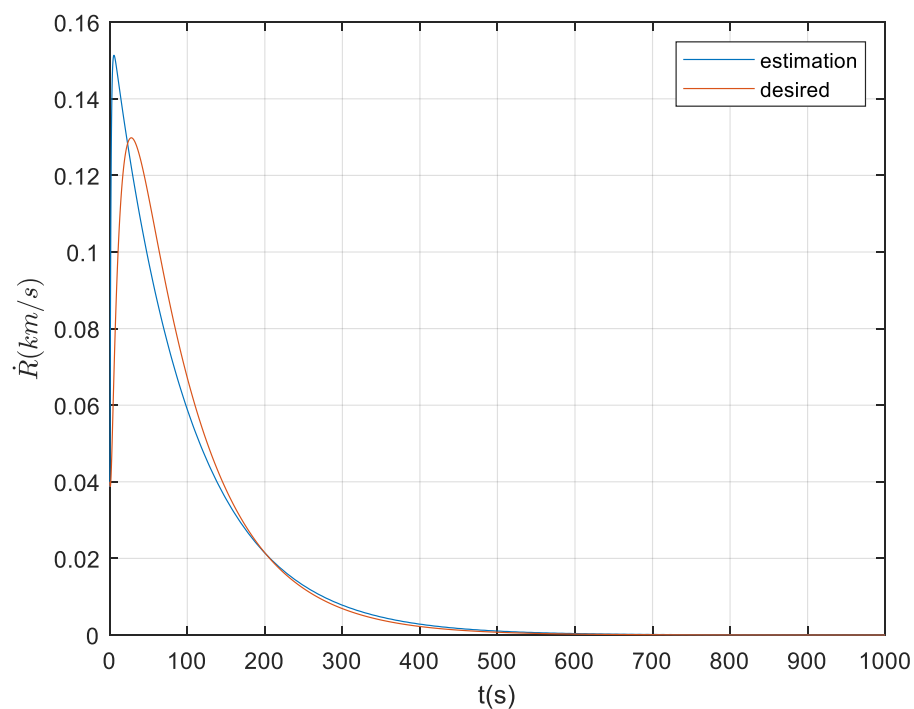
در شکل ۳ تابع پتانسیل گرانشی و اغشاشات وارد به سیستم با یک سیستم مرتبه دو مدل شده‌است. نوسانات مشاهده شده در شکل ۳ ناشی از اعمال اغتشاش سینوسی به سیستم است.



شکل ۳: برازش تابع پتانسیل گرانشی و اغتشاشات با سیستم مرتبه دو
در شکل‌های ۴ و ۵ فاصله و سرعت نسبی بین فضاپیما و سیارک حاصل از سیستم شناسایی شده به مقدار مطلوب حاصل از سیستم با کنترل‌کننده می‌رسد.



شکل ۴: فاصله نسبی بین فضاپیما و سیارک



شکل ۵: سرعت نسبی بین فضاپیما و سیارک

نتیجه گیری

در این پروژه مدل دینامیکی یک فضاپیما حول سیارک Eros ۴۳۳ با فرض حضور اغتشاشات شناسایی شده است. پارامترهای جرم فضاپیما و سرعت زاویه‌ای سیارک حول مدارش به دور خورشید تخمین زده می‌شود. و تابع پتانسیل مربوط به سیارک نیز با یک سیستم مرتبه دو تخمین زده می‌شود. نتایج همگرایی پارامترها و پاسخ سیستم نشان از شناسایی مطلوب سیستم دارد.

فصل سوم: تکرار روش با شبکه عصبی چند لایه

شناسایی با شبکه عصبی

در این قسمت قصد داریم سیستم فضاپیما حول سیارک را با استفاده از روش هوشمند شبکه عصبی مصنوعی و با فرض جعبه سیاه بودن سیستم تخمین بزنیم. مدل دینامیکی سیستم به صورت زیر است:

$$\begin{aligned}\ddot{x} &= 2\omega\dot{z} + \frac{F_x}{m_c} + U_x + \delta_x \\ \ddot{y} &= -\omega^2 y + \frac{F_y}{m_c} + U_y + \delta_y \\ \ddot{z} &= -2\omega\dot{x} + 3\omega^2 z + \frac{F_z}{m_c} + U_z + \delta_z\end{aligned}$$

متغیرهای حالت را به صورت زیر تعریف می‌کنیم:

$$\begin{cases} x_1 = x \\ x_2 = \dot{x} \\ x_3 = y \\ x_4 = \dot{y} \\ x_5 = z \\ x_6 = \dot{z} \end{cases}$$

مدل فضای حالت به فرم زیر تبدیل می‌شود:

$$\begin{aligned}\dot{x}_1 &= x_2 \\ \dot{x}_2 &= 2\omega x_6 + \frac{F_x}{m_c} + U_x + \delta_x \\ \dot{x}_3 &= x_4 \\ \dot{x}_4 &= -\omega^2 x_3 + \frac{F_y}{m_c} + U_y + \delta_y \\ \dot{x}_5 &= x_6 \\ \dot{x}_6 &= -2\omega x_2 + 3\omega^2 x_5 + \frac{F_z}{m_c} + U_z + \delta_z\end{aligned}$$

خروجی:

$$\begin{bmatrix} y_1 \\ y_2 \\ y_3 \end{bmatrix} = \begin{bmatrix} 1 & \cdot & \cdot & \cdot & \cdot & \cdot \\ \cdot & \cdot & 1 & \cdot & \cdot & \cdot \\ \cdot & \cdot & \cdot & \cdot & 1 & \cdot \end{bmatrix} \begin{bmatrix} y_1 \\ y_2 \\ y_3 \end{bmatrix}$$

نیروهای پتانسیل را به صورت زیر در نظر می‌گیریم:

$$U = G \frac{m_c m_a}{(r_a + \alpha)^2}$$

$$G = 6.67 \times 10^{-11}$$

$$m_c = 150 \text{ Kg}$$

$$m_a = 6.687 \times 10^{15} \text{ Kg}$$

$$r_a = 16 \text{ Km} = 16000 \text{ m}$$

بنابراین:

$$U = G \frac{m_c m_a}{(r_a + \alpha)^2}$$

$$U_x = (6.67 \times 10^{-11}) \frac{150 \cdot (6.687 \times 10^{15})}{(16000 + x)^2} = \frac{6.69 \times 10^7}{(16000 + x)^2}$$

$$U_y = \frac{6.69 \times 10^7}{(16000 + y)^2}$$

$$U_z = \frac{6.69 \times 10^7}{(16000 + z)^2}$$

گسسته سازی سیستم با زمان نمونه برداری T:

$$\frac{x(t+T) + x(t)}{T} = \dot{x}_t$$

$$\frac{x(K+1) + x(K)}{T} = \dot{x}_t$$

حال می‌توان شکل گسسته سازی شده معادلات حالت را نوشت:

$$x_1(K+1) = x_1(K)$$

$$x_r(K+1) = x_r(K) + \tau Tw x_\varphi(K) + \frac{T F_x}{m_c} + TU_x + T\delta_x$$

$$x_r(K+1) = x_r(K) + Tx_\varphi(K+1)$$

$$x_f(K+1) = x_f(K) - \tau Tw^\top x_r(K) + \frac{T F_y}{m_c} + TU_y + T\delta_y$$

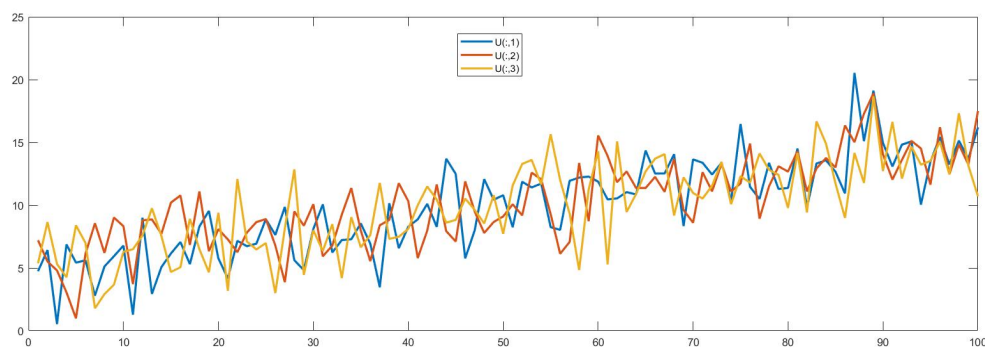
$$x_\delta(K+1) = x_\delta(K) + Tx_\varphi(K)$$

$$x_\varphi(K+1) = x_\varphi(K) - \tau Tw x_r(K) + \tau Tw^\top x_\delta(K) + \frac{T F_z}{m_c} + TU_z + T\delta_z$$

با در نظر گرفتن پارامترها به صورت جدول قسمت قبل و همچنین در نظر گرفتن نیروهای مختلف در حد چند نیوتن و البته اغتشاش های جمع شونده با دامنه بسیار کوچک، داده های مختلف ورودی و خروجی را به دست می‌آوریم سیستم دارای سه ورودی و سه خروجی است. سپس با آموزش یک شبکه عصبی MLP یک مدل برای سیستم با استفاده از داده‌های ورودی و خروجی به دست آمده تخمین می‌زنیم.

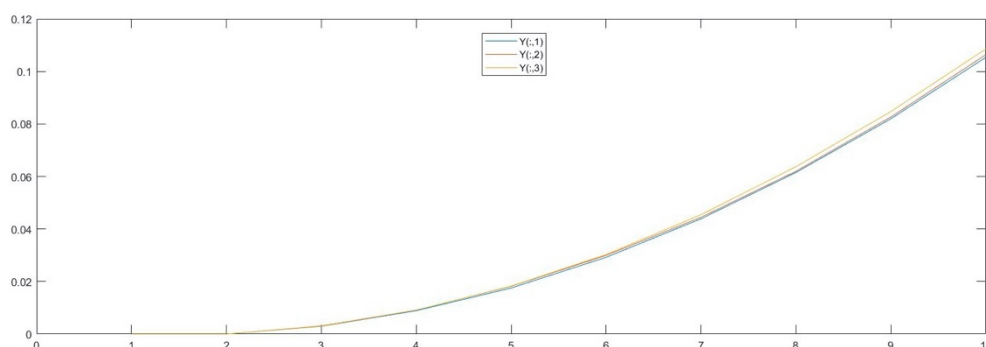
نتایج شبکه عصبی

در قسمت اول ورودی‌های تصادفی به اضافه ورودی‌های شیب را اعمال کردیم. شکل زیر سه ورودی اعمال شده این سیستم را در نمونه‌های مختلف نشان می‌دهد:



شکل ۶: سه ورودی اعمال شده در نمونه‌های مختلف

شکل زیر نیز خروجی‌های سیستم را در نمونه‌های مختلف نشان می‌دهد.



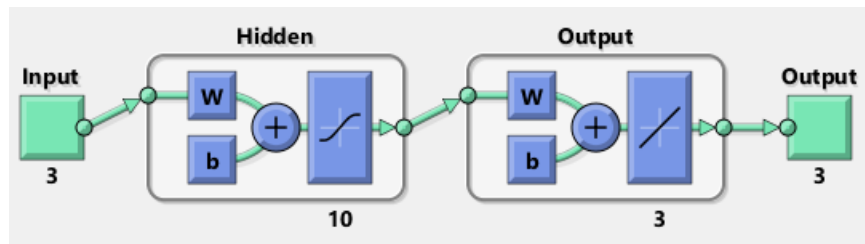
شکل ۷: خروجی‌های سیستم در نمونه‌های مختلف

البته لازم به ذکر است که در هزار نمونه مختلف داده‌های ورودی و خروجی جمع آوری شده‌اند که در دو شکل بالا فقط نمونه‌های اولیه ترسیم شده‌اند.

حال با استفاده از داده‌های به دست آمده در قسمت قبل قصد داریم یک شبکه عصبی MLP را آموزش دهیم.

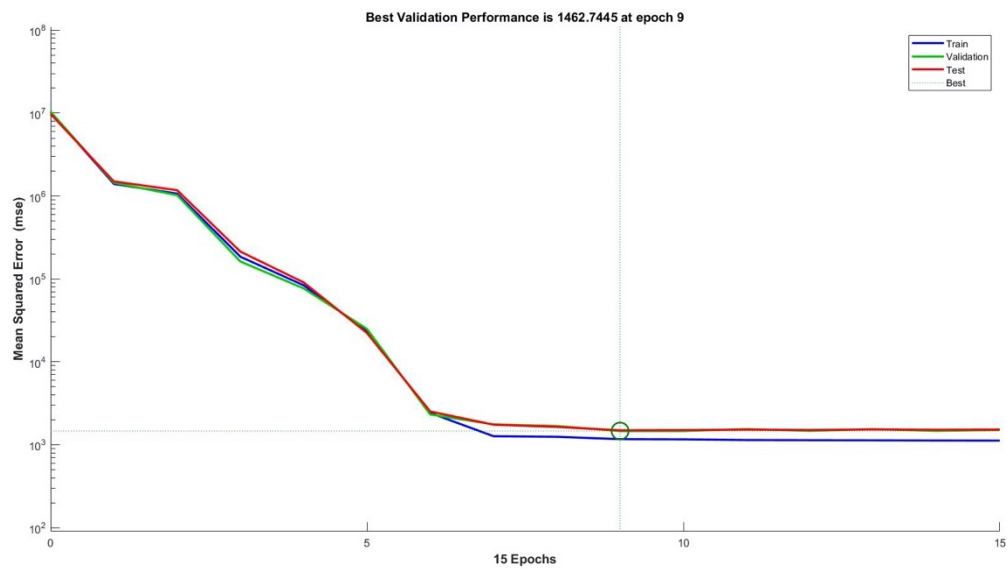
برای آموزش شبکه از ۷۰ درصد داده‌ها برای آموزش از ۱۵ درصد داده‌ها برای اعتبار سنجی و از ۱۵ درصد داده‌ها نیز برای تست شبکه پس از آموزش استفاده کرده‌ایم.

شبکه دارای دو لایه است. یک لایه ورودی که شامل ۱۰ نورون است و یک لایه خروجی که شامل سه نورون است که ۳ خروجی سیستم را نگاشت می‌کند. شکل کلی شبکه به صورت زیر است:



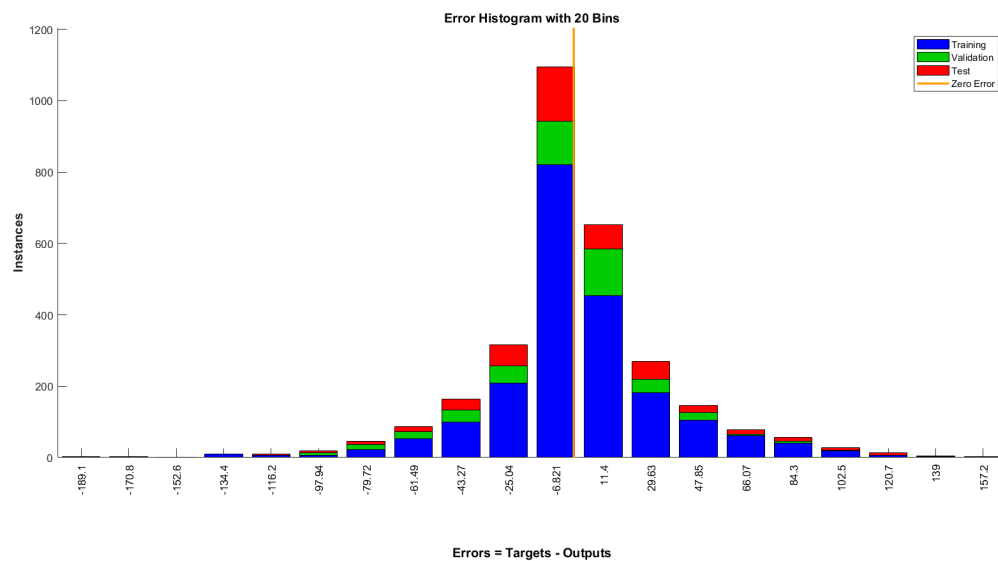
شکل ۸: شکل کلی شبکه

عملکرد شبکه و میزان خطا به صورت زیر به دست می‌آید:



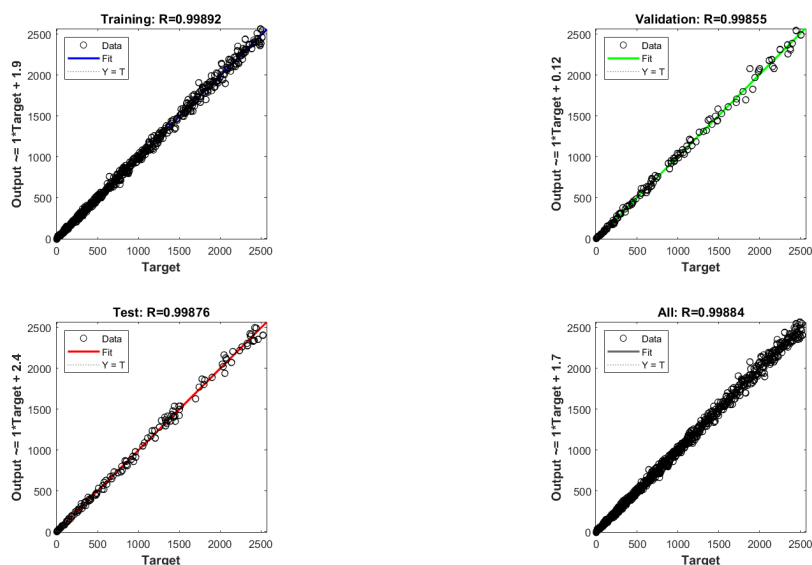
شکل ۹: عملکرد شبکه و میزان خطا

نمودار هیستوگرام خطا به صورت زیر است:



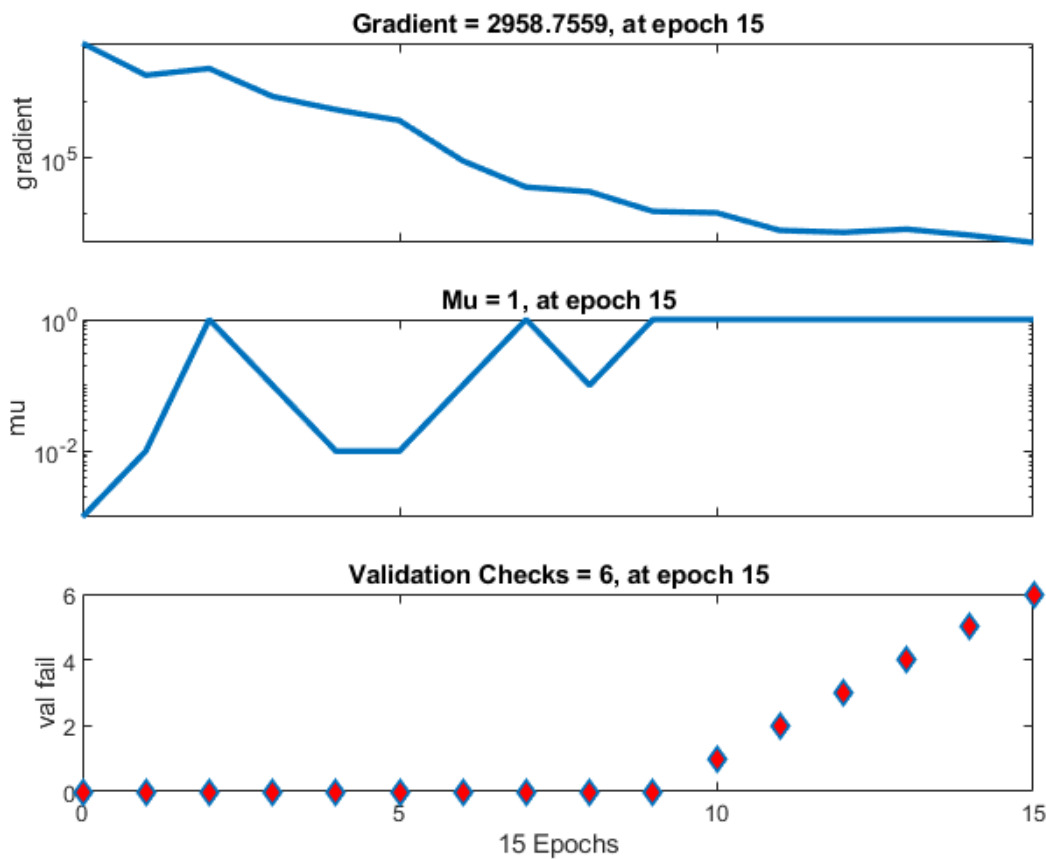
شکل ۱۰: نمودار هیستوگرام خطا

رگرسیون روی سه دسته داده آموزش، اعتبارسنجی و تست نیز به صورت زیر به دست می‌آید و مشاهده می‌شود که بسیار به عدد یک نزدیک است:



شکل ۱۱: رگرسیون روی سه دسته داده آموزش، اعتبارسنجی و تست

سایز پارامترهای شبکه نیز به صورت زیر است:



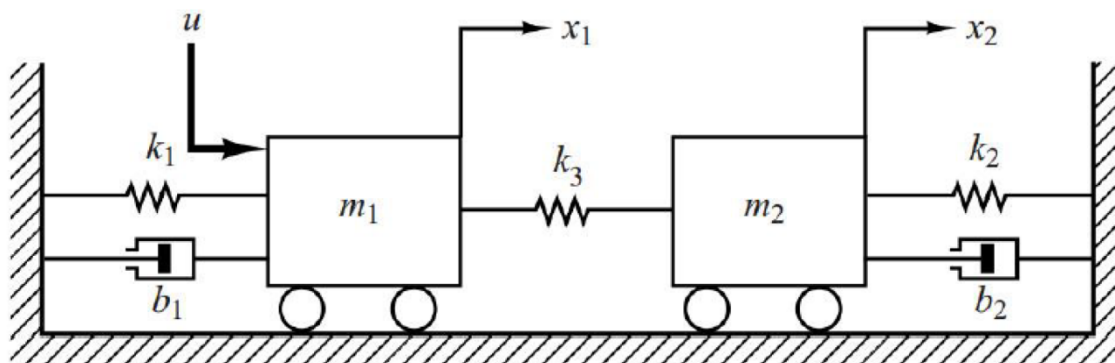
شکل ۱۲: سایز پارامترهای شبکه

فصل چهارم: اعمال دو روش LS و RLS

در این قسمت از پروژه می‌خواهیم یک سیستم جرم و فنر و دمپر را با استفاده از روش‌های حداقل مربعات و حداقل مربعات بازگشتی شناسایی کرده و پارامترهای آن را تخمین بزنیم. و هر بخشی از درس که در تا اینجا در پروژه استفاده نشده است را روی این دینامیک پیاده کنیم.

شناسایی سیستم با روش LS

سیستم زیر را در نظر می‌گیریم.



شکل ۱۳: سیستم مدنظر برای بخش دوم پروژه

معادلات حاکم بر سیستم و همچنین مقادیر پارامترها به صورت زیر اند.

$$(m_1 S^2 + b_1 S + k_1 + k_3) X_1(S) - k_3 X_2(S) = U(S)$$

$$(m_2 S^2 + b_2 S + k_2 + k_3) X_2(S) - k_3 X_1(S) = 0$$

$$m_1 = m_2 = 1$$

$$k_1 = b_2 = 0.8$$

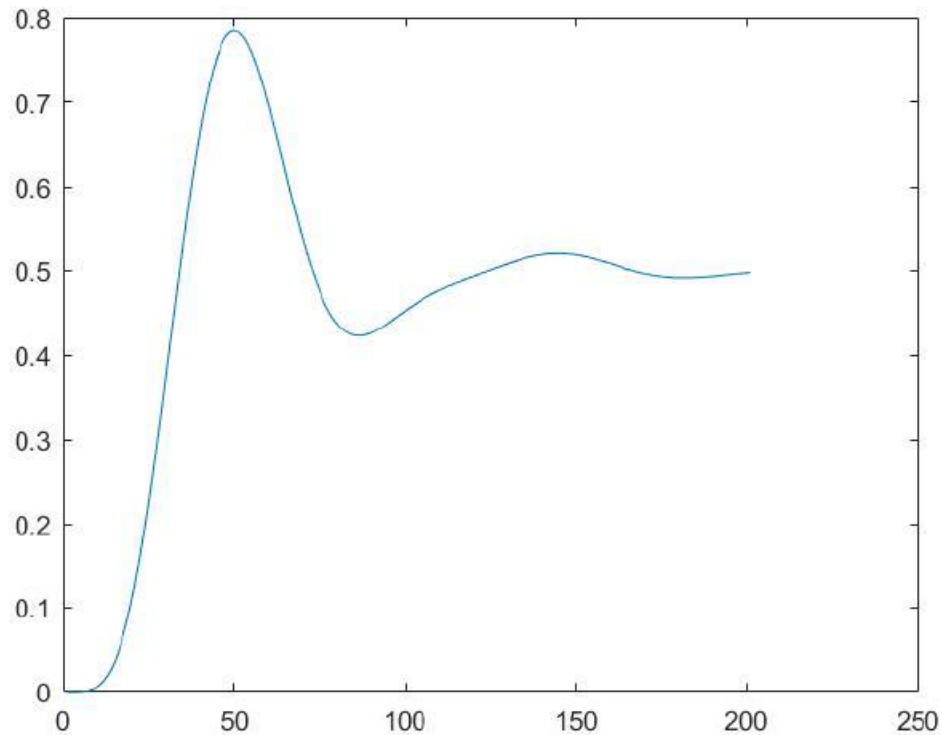
$$k_2 = b_1 = 0.4$$

$$k_3 = 0.4$$

تابع تبدیل سیستم به صورت زیر به دست می‌آید:

$$\frac{X_2(S)}{U(S)} = \frac{0.4}{S^4 + 1.2S^3 + 2.32S^2 + 1.12S + 0.8}$$

پاسخ پله زمان پیوسته این سیستم به صورت شکل زیر است:



شکل ۱۴: پاسخ پله زمان پیوسته

با توجه به زمان صعود که حدود ۲۰ ثانیه است ۱۰ نمونه از این زمان را بر می داریم بنابراین زمان نمونه برداری را برابر با ۲ ثانیه در نظر میگیریم. با گسسته کردن تابع تبدیل با این زمان نمونه برداری تابع تبدیل گسسته به صورت زیر به دست می آید.

$$0.1317 z^3 + 0.6007 z^2 + 0.3582 z + 0.03051$$

$$z^4 + 0.4749 z^3 + 0.496 z^2 + 0.1807 z + 0.09072$$

Sample time: 2 seconds

Discrete-time transfer function.

$$\frac{Y(Z)}{U(Z)} = \frac{.1317Z^3 + .6007Z^2 + .3582Z + .03051}{Z^4 + .4749Z^3 + .496Z^2 + .1807Z + .09072}$$

$$\begin{aligned} Y(Z) + .4749Z^{-1}Y(Z) + .496Z^{-2}Y(Z) + .1807Z^{-3}Y(Z) + .09072Z^{-4}Y(Z) \\ = .1317Z^{-1}U(Z) + .6007Z^{-2}U(Z) + .3582Z^{-3}U(Z) \\ + .03051Z^{-4}U(Z) \end{aligned}$$

با گرفتن وارون تبدیل معادله بالا به صورت زیر به دست می‌آید.

$$\begin{aligned} y(n) + .4749y(n-1) + .496y(n-2) + .1807y(n-3) + .09072y(n-4) \\ = .1317u(n-1) + .6007u(n-2) + .3582u(n-3) \\ + .03051u(n-4) \end{aligned}$$

فرم رگرسیون خطی به صورت زیر است:

$$y = \theta^T \varphi + n$$

θ پارامترها

φ رگرورها

n نویز سفید گوسی

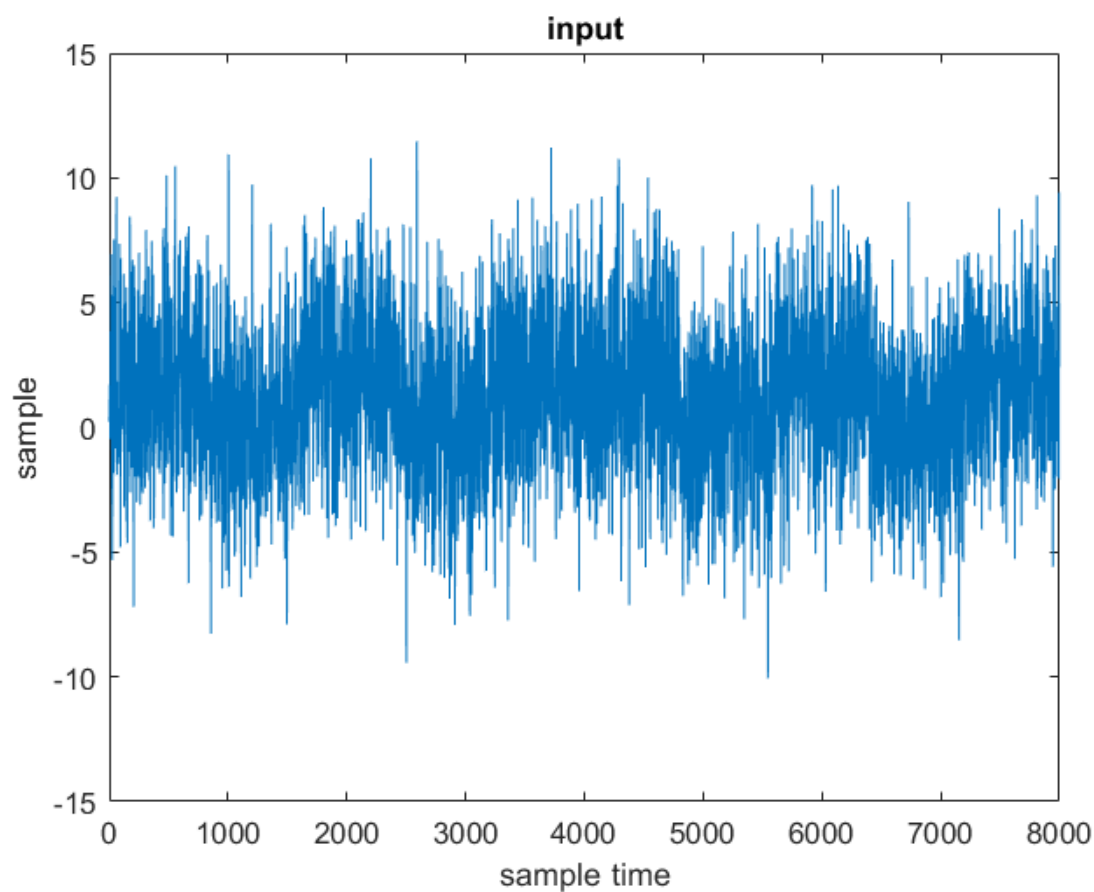
$$\theta^T = [.4749 \ .496 \ .1807 \ .09072 \ .1317 \ .6007 \ .3582 \ .03051]$$

$$\begin{aligned} \varphi^T = [-y(n-1) \ -y(n-2) \ -y(n-3) \\ -y(n-4) \ u(n-1) \ u(n-2) \ u(n-3) \ (n-4)] \end{aligned}$$

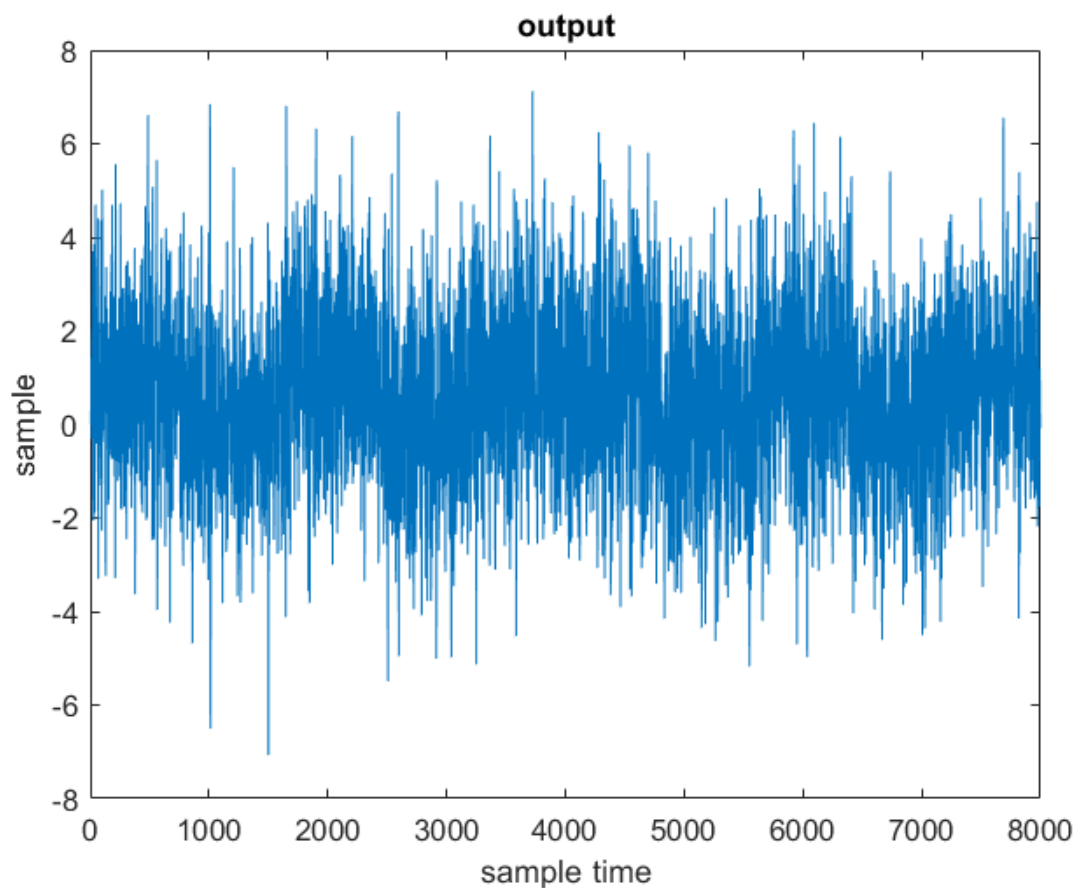
پارامترهای واقعی سیستم بردار θ اند.

ما ابتدا با توجه به پارامترهای واقعی سیستم و در حضور نویز سفید و با اعمال ورودی پالس خروجی را اندازه گیری کرده و داده های ورودی و خروجی را در اختیار داریم پس فرض می کنیم که سیستم به صورت یک جعبه خاکستری است یعنی اینکه پارامترها را نداریم ولی فرم کلی سیستم و رگرورها و همچنین

داده‌های ورودی و خروجی را در اختیار داریم. پس با توجه به داده‌های ورودی و خروجی، پارامترهای سیستم را تخمین می‌زنیم. ورودی را به صورت جمعی از اعداد تصادفی و سیگنال پالس در نظر می‌گیریم. ورودی به صورت زیر است:



خروجی سیستم نیز به صورت زیر به دست می‌آید:



توسط تخمین LS یعنی با فرمول زیر پارامترها را محاسبه می‌کنیم:

$$\hat{\theta} = (\varphi^T \varphi)^{-1} \varphi^T y$$

توسط این تخمین پارامترها به صورت زیر به دست می‌آیند.

theta_hat =

```
0.4705
0.4932
0.1790
0.0895
0.1317
0.6001
0.3555
0.0286
```

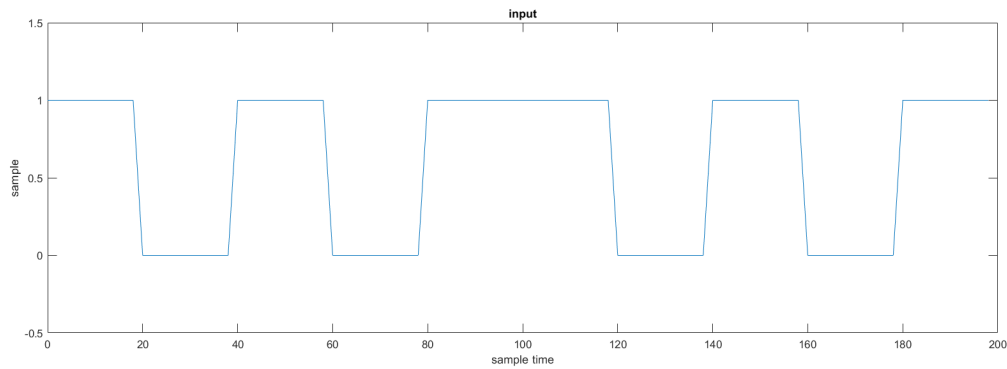
همانطور که مشاهده می‌شود پارامترهای تخمین زده به پارامترهای واقعی سیستم بسیار نزدیک کند پارامترهای واقعی و تخمین سیستم در جدول زیر آورده شده اند:

نام پارامتر	مقدار واقعی	مقدار تخمینی
θ_1	۰.۴۷۴۹	۰.۴۷۰۵
θ_2	۰.۴۶۹	۰.۴۹۳۲
θ_3	۰.۱۸۰۷	۰.۱۷۹۰
θ_4	۰.۰۹۰۷۲	۰.۰۸۹۵
θ_5	۰.۱۳۱۷	۰.۱۳۱۷
θ_6	۰.۶۰۰۷	۰.۶۰۰۱
θ_7	۰.۳۵۸۲	۰.۳۵۵۵
θ_8	۰.۰۳۰۵۱	۰.۰۲۸۶

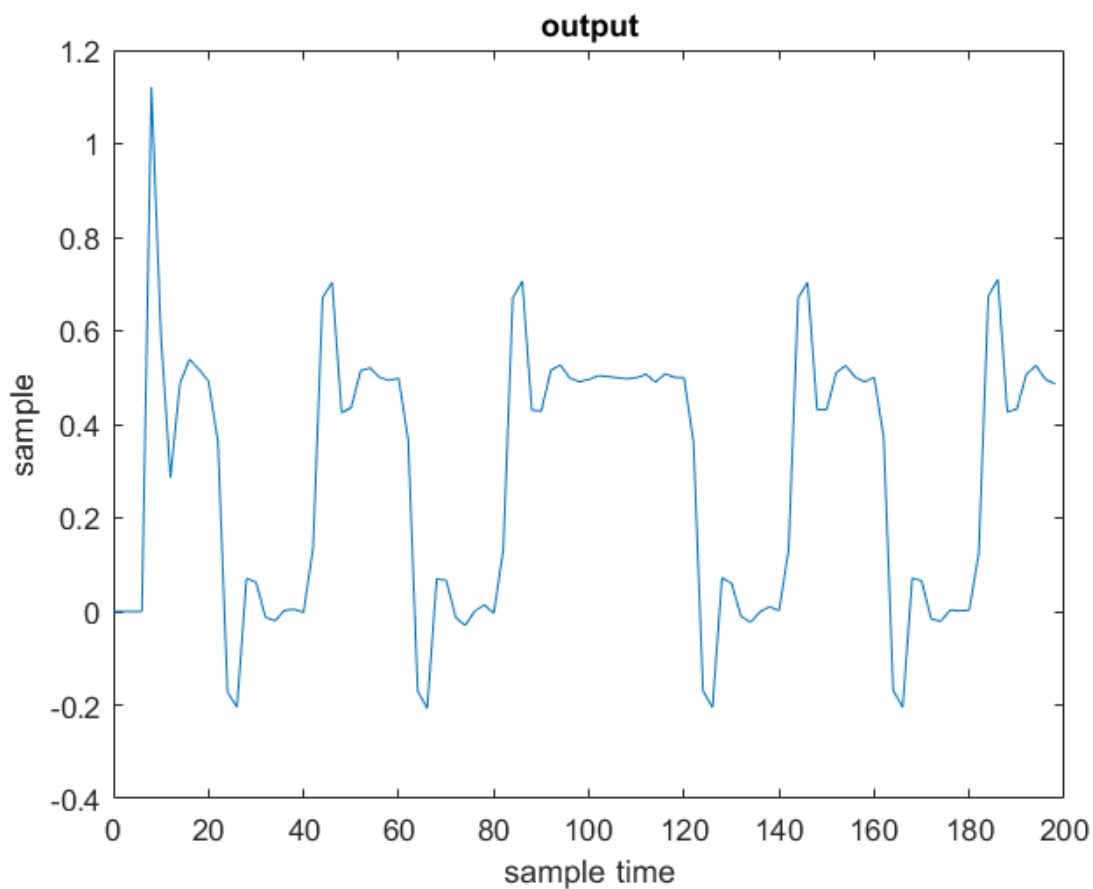
همانطور که مشاهده می‌شود مقدارهای تخمینی و مقدارهای واقعی بسیار نزدیک هستند.

شناسایی سیستم با روش RLS

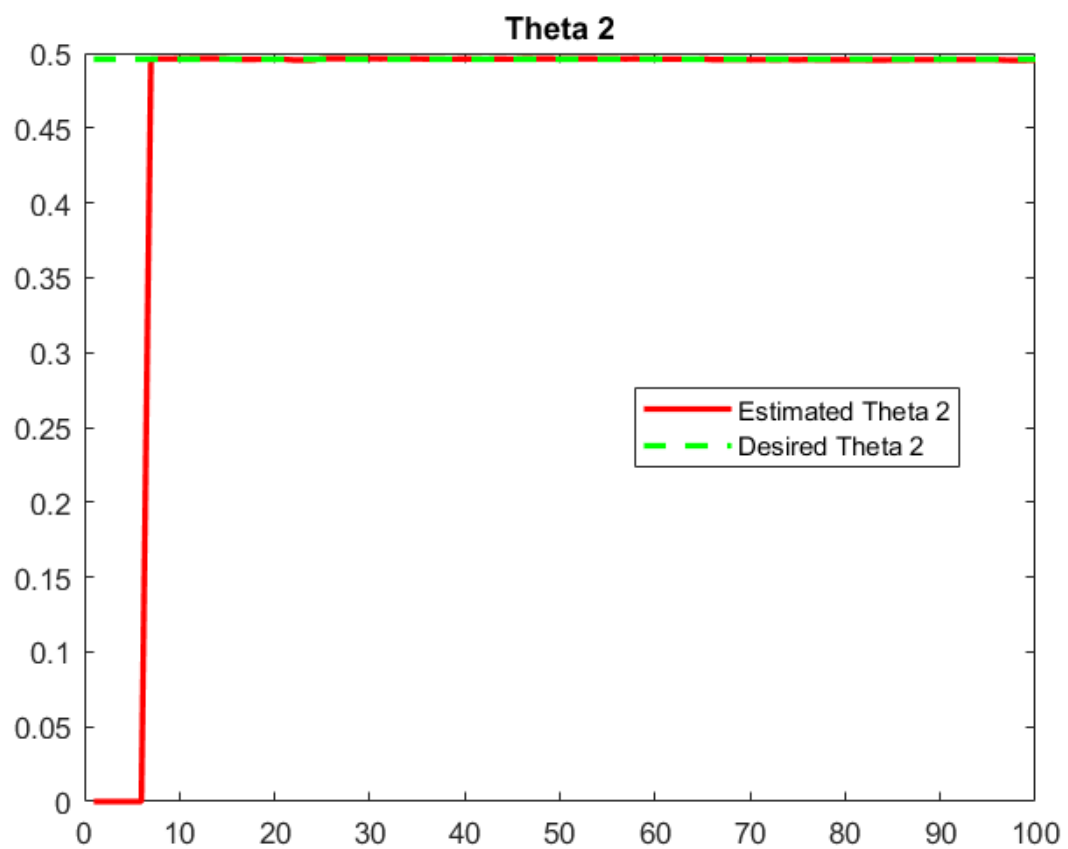
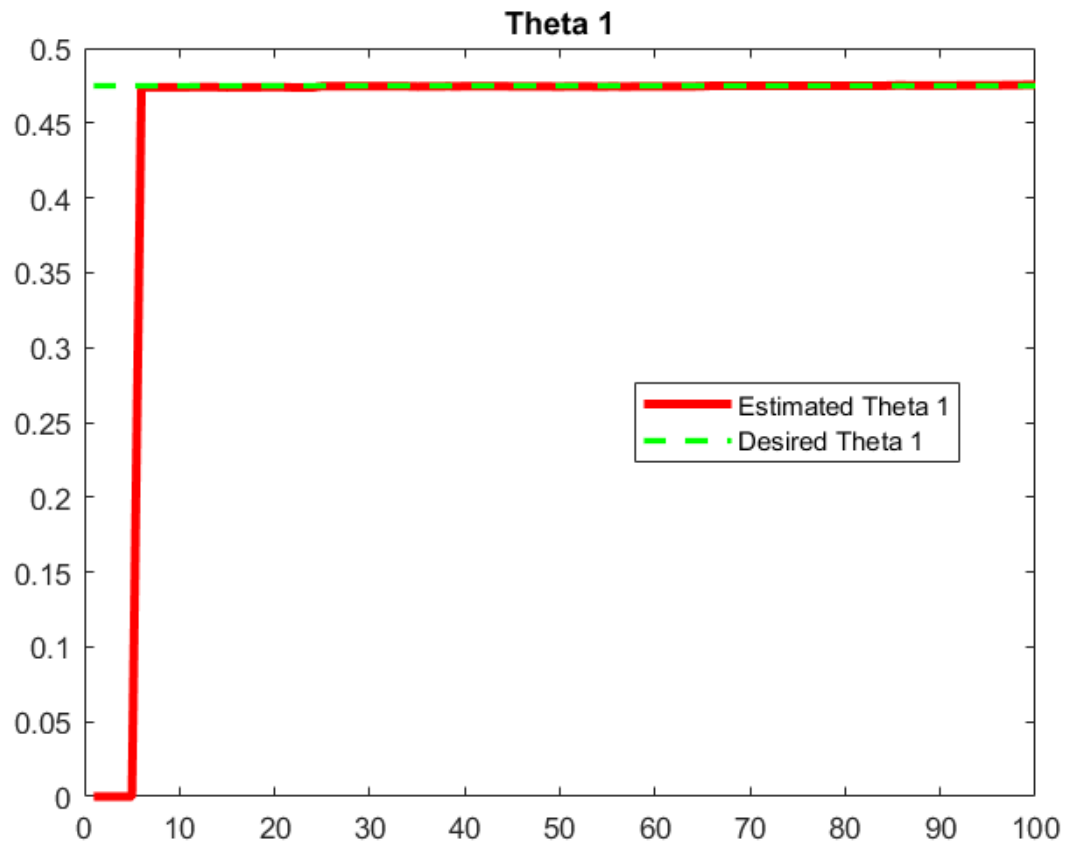
در این قسمت با روش RLS پارامترها را تخمین می‌زنیم. شکل زیر ورودی را نشان می‌دهد. ورودی سیگنال پالس می‌باشد. همچنین نویز جمع شونده گوسی نیز وجود دارد:

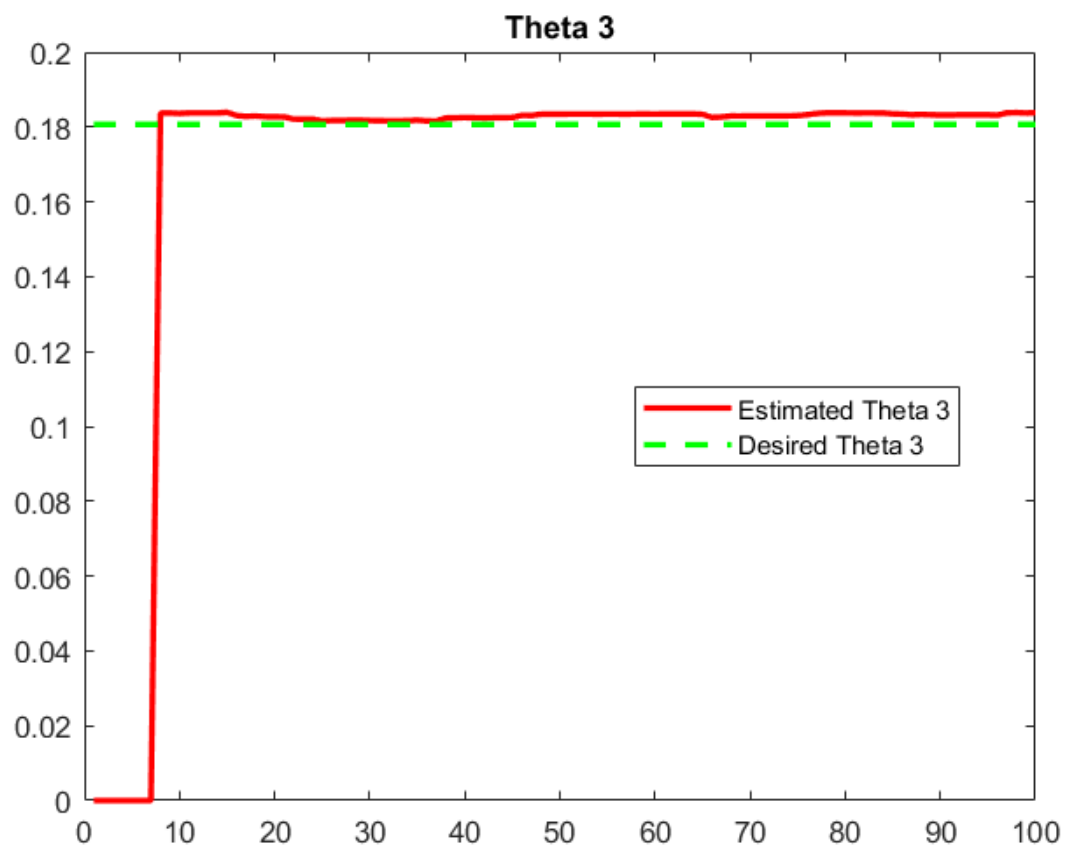


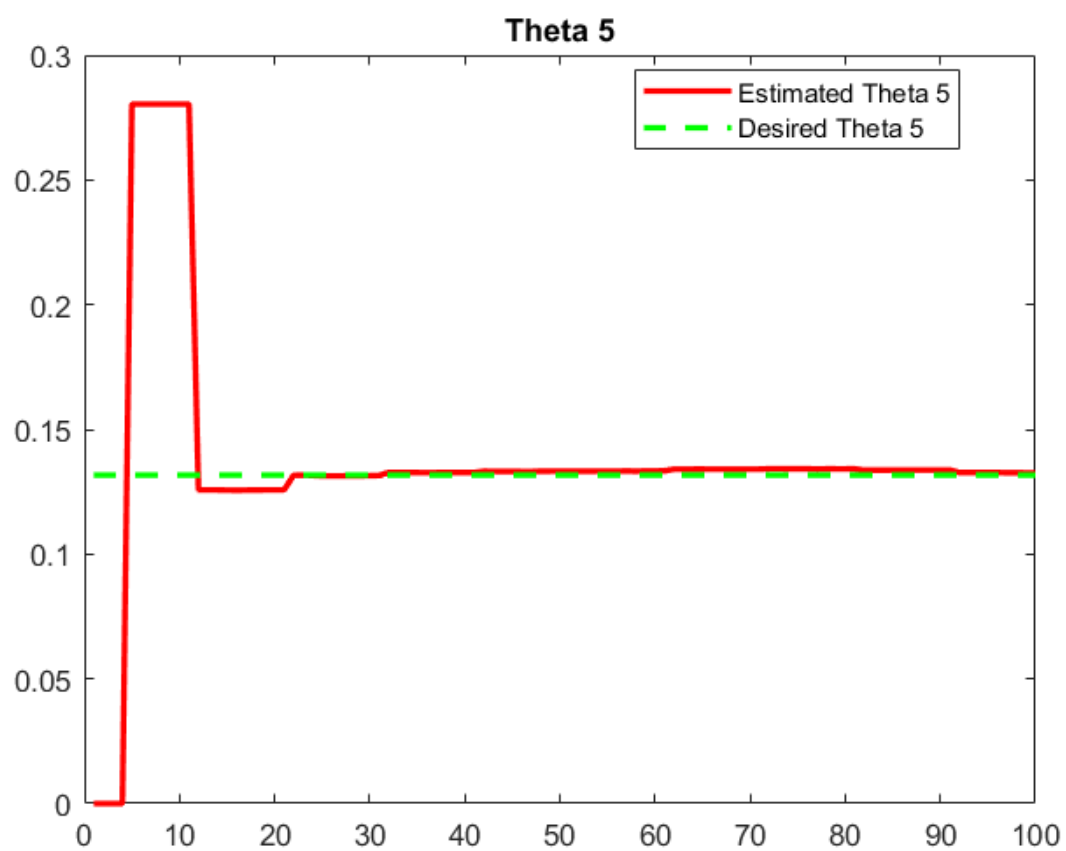
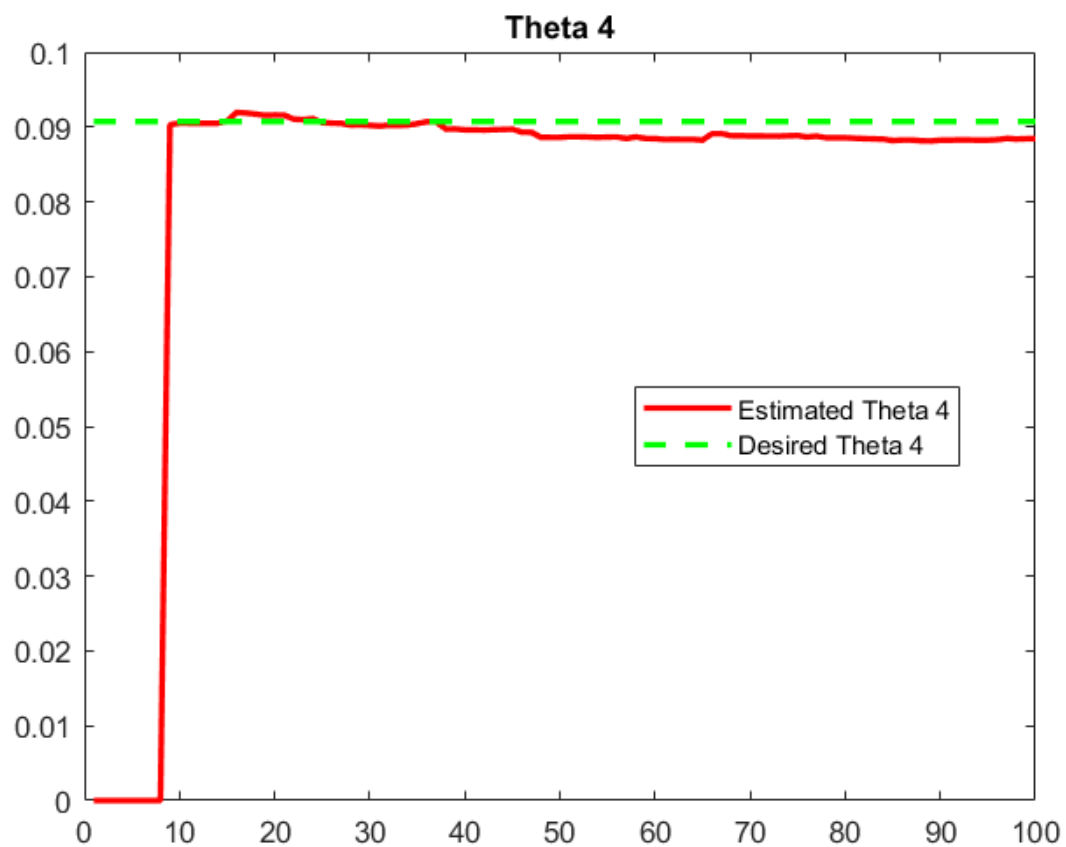
شکل زیر نیز خروجی سیستم را نشان می‌دهد:

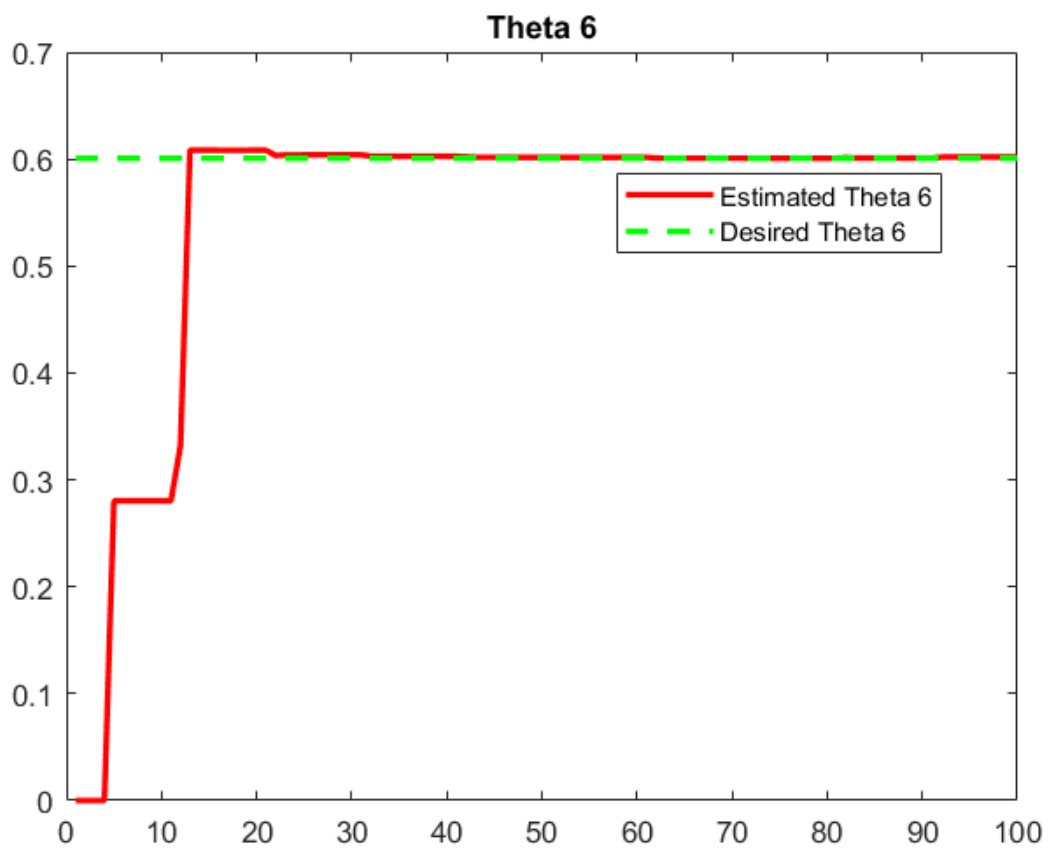
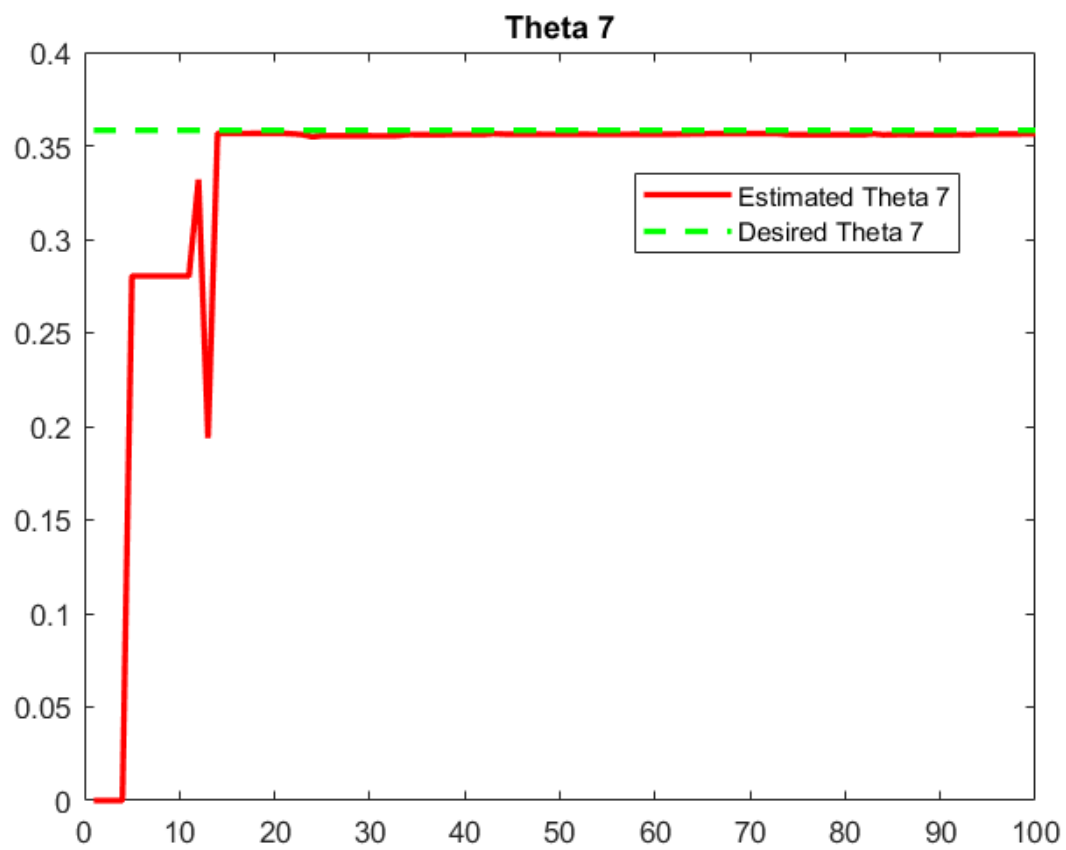


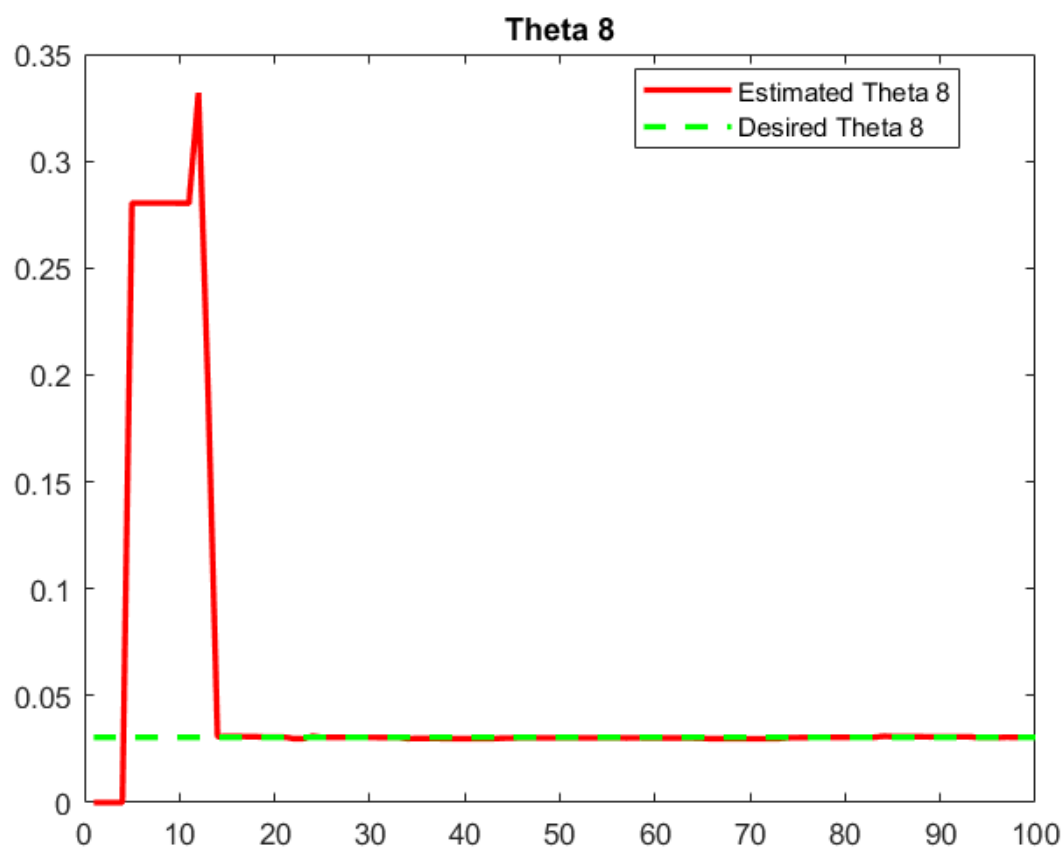
هشت شکل زیر نیز پارامترهای تخمین زده شده سیستم را در کنار پارامترهای واقعی نشان می‌دهند که برای هر پارامتر جداگانه رسم شده است.











همانطور که مشاهده می‌شود مقدار پارامترها به خوبی به مقدارهای واقعی همگرا شده‌اند اگر هم جایی خطای بسیار کمی وجود دارد ناشی از وجود نویز است.

پیوست ۱

```
%%%%%%%%%%%%%%%%%%%%%%%%%%%%%%%%%%%%%%%%%%%%%%%%%%%%%%%%%%%%%%%%%%%%%%%% System Identification %%%%%%%%%%%%%%%%%%%%%%%%%%%%%%%%%%%%%%%%%%%%%%%%%%%%%%%%%%%%%%%%%%%%%%%%%
```

```
%%%%%%%%%%%%%%%%%%%%%%%%%%%%%%%%%%%%%%%%%%%%%%%%%%%%%%%%%%%%%%%%%%%%%%%% ۴-April-۲۰۲۱ %%%%%%%%%%%%%%%%%%%%%%%%%%%%%%%%%%%%%%%%%%%%%%%%%%%%%%%%%%%%%%%%%%%%%%%%%
```

```
clc
```

```
clear
```

```
close all
```

```
global mu W mc G ma RB
```

در این قسمت پارامترهای سیستم و شرایط اولیه شبیه‌سازی تعریف شده‌اند.

```
mc = ۱۵۰; % spacecraft's mass(kg)
```

```
ma = ۶.۶۸۷e۱۵; % ۴۳۳ Eros mass (kg)
```

```
RB = ۱۶; % reference radius of Eros(km)
```

```
i = ۱۰.۲۸*pi/۱۸۰; % inclination
```

```
hs = ۲۱۸e۶; % height from sun (km)
```

```
Rs = ۶۹۶۳۴۲; % sun radius(km)
```

```
ra = hs+Rs; % radius from the sun to asteroid
```

```
G = ۶.۶۷۴۲e-۲۰; % universal gravitational constant(km^۳/kg.s^۲)
```

```
ms = ۱.۹۸۹e۳۰; % sun mass (kg)
```

```
mu = G*(ma+ms); % gravitational parameter(km^۳/s^۲)
```

```
W = sqrt(mu/ra^۳); % #rad/s
```

```
%#initial condition
```

```
x۰ = [-۵۰ -۱۵]; dx۰ = [۰ ۴۰e-۳ ۰];
```

```
ra۰ = [-ra*cos(i) ra*sin(i)];
```

```
int_parameter = [۱/۱۳۰ ۱ ۱e-۷ ۱e-۱۴];
```

حل معادلات سیستم با استفاده از روش ode۴۵:

`%% ode solving`

`options = odeset('RelTol',1e-3,'AbsTol',1e-5);`

`int = [x0 dx0 ra0 * -sqrt(mu/ra0) * int_parameter 2*ones(1,4) 1*ones(1,4) ones(1,4)
1*ones(1,4) x0 dx0];`

`[t,x]=ode45(@fun_SI,[0 500],int);`

`%# plots`

`%% estimation of spacecraft mass`

`figure`

`plot(t,1./X(:,13),t,mc*ones(numel(t),1))`

`xlabel('t(s)'),ylabel('mc(kg)'),grid on`

`legend('estimation','desired')`

`%% estimation of angular velocity`

`figure`

`plot(t,x(:,15),t,W*ones(numel(t),1))`

`xlabel('t(s)'),ylabel('W(rad/s)'),grid on`

`legend('estimation','desired')`

`%% relative distance`

`figure`

`plot(t,sqrt(x(:,1)).^2+x(:,2).^2+x(:,3).^2),hold on`

`plot(t,sqrt(x(:,33).^2+x(:,34).^2+x(:,35).^2))`

`xlabel('t(s)'),ylabel('R(km)'),grid on`

`legend('estimation','desired')`

`%% relative velocity`

`figure`

`plot(t,sqrt(x(:,4)).^2+x(:,5).^2+x(:,6).^2),hold on`

`plot(t,sqrt(x(:,36).^2+x(:,37).^2+x(:,38).^2))`

```

xlabel('t(s)'),grid on
h = ylabel('$ \dot{R} (km/s) $');
set(h,'Interpreter','latex')
legend('estimation','desired')
برازش تابع پتانسیل با معادله مرتبه ۲:

%% gravitational potential fitting with a ۲-order system
for i = ۱:numel(t)
[U(:,i)] = gravitational_potential(t(i),x(i,:));
end

delta = ۱e-۵*sin(۰.۲*pi.*t);

figure
plot(t,sqrt((U(۱,:)+delta').^۲+(U(۲,:)+delta').^۲+(U(۳,:)+delta').^۲)),hold on

f=fit(t,U(۱,:)+delta,'poly۲');
f=fit(t,U(۲,:)+delta,'poly۲');
f=fit(t,U(۳,:)+delta,'poly۲');

W۱۲ = (۷.۲۵۳e-۱۱ *t.^۲ -۱.۰۶۷e-۰۷.*t -۵.۷۰۹e-۰۶);
W۲۲ = (۱.۵۱e-۱۲ *t.^۲ -۱.۶۶e-۰۹.*t + ۶.۸۱e-۰۷) ;
W۳۲ = ( ۲.۱۵۱e-۱۰.*t.^۲ -۳.۰۰۶e-۰۷.*t -۱.۸۹۴e-۰۵ );

plot(t,sqrt(W۱۲.^۲+W۲۲.^۲+W۳۲.^۲)),grid on
xlabel('t(s)'),legend('$ U+\delta $','$\hat{U}+\hat{\delta}$','Interpreter','latex')

```


پیوست ۲

```
function dx = fun_SI(t,x)
```

```
dx = zeros(۳۸,۱);
```

```
global mu W mc
```

فراخوانی تابع پتانسیل:

```
[U] = gravitational_potential(t,x);
```

طراحی کنترل کننده لغزشی:

```
%%%% sliding mode control
```

```
landa = diag([.۰۱ .۰۱ .۰۱]);k = [۱۰۰ ۱۰۰ ۱۰۰]; epsilon = .۰۸;
```

```
e = x(۱:۳);de = x(۴:۶);s = de+landa*e;
```

```
Fx = mc*(-۲*W*x(۶)-U(۱)-landa(۱)*x(۴))-k(۱)*satlins(s(۱)/epsilon);
```

```
Fy = mc*(W^۲*x(۲)-U(۲)-landa(۲)*x(۵))-k(۲)*satlins(s(۲)/epsilon);
```

```
Fz = mc*(۲*W*x(۴)-۳*W^۲*x(۳)-U(۳)-landa(۳)*x(۶))-k(۳)*satlins(s(۳)/epsilon);
```

```
%%%%%% spacecraft dynamics system
```

شبیه‌سازی سیستم:

```
delta = ۱e-۵*sin(۰.۲*pi*t); % disturbance
```

```
d2x = ۲*W*x(۶)+(Fx/mc+U(۱)+delta);
```

```
d2y = -W^۲*x(۲)+(Fy/mc+U(۲)+delta);
```

```
d2z = -۲*W*x(۴)+۳*W^۲*x(۳)+Fz/mc+U(۳)+delta;
```

```
dx(۱)=x(۴); %x(۱)=x
```

```
dx(۲)=x(۵); %x(۲)=y
```

```
dx(۳)=x(۶); %x(۳)=z
```

```
dx(۴)=d2x; %x(۴)=xdot
```

```
dx(۵)=d2y; %x(۵)=ydot
```

```
dx(۶)=d2z; %x(۶)=zdot
```

حرکت مداری سیارک (این قسمت جزء پروژه نیست).

asteroid's motion relative to sun

$$ra = \sqrt{x(\gamma)^2 + x(\lambda)^2 + x(\eta)^2};$$

$$d\gamma x = -\mu * x(\gamma) / (ra^3);$$

$$d\gamma y = -\mu * x(\lambda) / (ra^3);$$

$$d\gamma z = -\mu * x(\eta) / (ra^3);$$

$$dx(\gamma) = x(10);$$

$$dx(\lambda) = x(11);$$

$$dx(\eta) = x(12);$$

$$dx(10) = d\gamma x;$$

$$dx(11) = d\gamma y;$$

$$dx(12) = d\gamma z;$$

%%

تشکیل ماتریس رگرسیو:

$$W_{11} = Fx;$$

$$W_{21} = Fy;$$

$$W_{31} = Fz;$$

gravitational potential fitting with a ۲-order system

$$W_{12} = (7.253e-11 * t^2 - 1.067e-07 * t - 5.709e-06);$$

$$W_{22} = (1.51e-12 * t^2 - 1.66e-09 * t + 6.81e-07);$$

$$W_{32} = (2.151e-10 * t^2 - 3.006e-07 * t - 1.894e-05);$$

$$W_{13} = 2 * x(6);$$

$$W_{23} = 0;$$

$$W_{33} = -2 * x(4);$$

$$W_{14} = 0;$$

$$W_{24} = -x(2);$$

$$W_{34} = 3 * x(3);$$

$We = [W_{11} \ W_{12} \ W_{13} \ W_{14}; W_{21} \ W_{22} \ W_{23} \ W_{24}; W_{31} \ W_{32} \ W_{33} \ W_{34}];$ % signal vector

$\% \text{ phi} = [1/mc \ 1 \ W \ W^2]';$ % system's parameters

پیااده‌سازی روش مبتنی بر خطای پیش بینی و تخمین پارامترها:

$\text{phi_hat} = x(13:16);$

$\text{tau_tilde} = [d2x; d2y; d2z] - We * \text{phi_hat};$

$P = [x(17) \ x(21) \ x(25) \ x(29); \dots$

$x(18) \ x(22) \ x(26) \ x(30); \dots$

$x(19) \ x(23) \ x(27) \ x(31); \dots$

$x(20) \ x(24) \ x(28) \ x(32)];$ % Kalman Filter matrix

$\text{landa} = \text{diag}([.3 \ .1 \ .1 \ .1]);$ $k = 1;$

$\text{la} = \text{landa} * (1 - \text{norm}(P)/k);$ % #forgetting factor

$\text{dp} = \text{la} * P - P * (We') * We * P;$

$\text{dphi_hat} = P * We' * \text{tau_tilde};$

$\text{dx}(13:16) = \text{dphi_hat};$

$\text{dx}(17:32) = \text{dp};$

شبیه سازی سیستم شناسایی شده برای مقایسه با سیستم واقعی:

%% Estimation of system

$\text{landa} = \text{diag}([.1 \ .1 \ .1 \ .1]);$ $k = [1 \ 1 \ 1 \ 1];$ $\text{epsilon} = .8;$

$e = x(33:35);$ $de = x(36:38);$ $s = de + \text{landa} * e;$

$Fx = (1/x(13)) * (-2 * x(15) * x(36) - W_{12} - \text{landa}(1) * x(36)) - k(1) * \text{satlins}(s(1)/\text{epsilon});$

$Fy = (1/x(13)) * (x(15)^2 * x(34) - W_{22} - \text{landa}(2) * x(37)) - k(2) * \text{satlins}(s(2)/\text{epsilon});$

$Fz = (1/x(13)) * (2 * x(15) * x(36) - 3 * x(15)^2 * x(35) - W_{32} - \text{landa}(3) * x(38)) - k(3) * \text{satlins}(s(3)/\text{epsilon});$

$d2x_hat = 2 * x(15) * x(38) + (Fx * x(13) + W_{12});$

$$\dot{y} = -x(15)^2 * x(34) + (Fy * x(13) + W22);$$

$$\dot{z} = -2 * x(15) * x(36) + 3 * x(15)^2 * x(35) + (Fz * x(13) + W32);$$

$$dx(33)=x(36); \quad \dot{x}(1)=x$$

$$dx(34)=x(37); \quad \dot{x}(2)=y$$

$$dx(35)=x(38); \quad \dot{x}(3)=z$$

$$dx(36)=\dot{x}; \quad \dot{x}(4)=\dot{x}$$

$$dx(37)=\dot{y}; \quad \dot{x}(5)=\dot{y}$$

$$dx(38)=\dot{z}; \quad \dot{x}(6)=\dot{z}$$

end

پیوست ۳

تعریف تابع پتانسیل گرانشی:

```
function [U] = gravitational_potential(~,x)
```

```
global RB G ma
```

```
r = sqrt(x(۱)^۲+x(۲)^۲+x(۳)^۲)+RB;
```

```
phi = atan۲( sqrt(x(۱)^۲+x(۲)^۲),x(۳)); % # latitude angle
```

```
landa = atan۲(x(۲),x(۱)); % # Longitudinal angle
```

ضرایب لژاندر:

```
% # Legendre coefficients
```

```
P۰۰ = ۱; P۱۰ = sin(phi); P۱۱ = cos(phi);
```

```
P۲۰ = ۰.۵*(۳*sin(phi)^۲-۱); P۲۱ = ۳*sin(phi)*cos(phi); P۲۲ = ۳*cos(phi)^۲*sin(phi);
```

```
P۳۰ = ۰.۵*(۵*sin(phi)^۳-۳*sin(phi)); P۳۱ = ۰.۵*cos(phi)*(۱۵*sin(phi)^۲-۳); P۳۲ = ۱۵*cos(phi)^۲*sin(phi);
```

```
P_sinphi = [P۰۰ P۱۰ P۱۱;P۲۰ P۲۱ P۲۲;P۳۰ P۳۱ P۳۲];
```

ضرایب استوکس:

```
% # Stokes' coefficients
```

```
C = [۰ ۰.۰۰۱۱۷۵ -۰.۰۰۰۳۴۸;-۰.۰۵۲۸۵۱ ۰.۰۰۰۱۰۲ ۰.۰۸۳۲۰۳; -۰.۰۰۱۷۴۷ ۰.۰۰۴۰۸۳ ۰.۰۰۲۱۲۹];
```

```
S = [۰ ۰.۰۰۰۰۸۸;۰ ۰.۰۰۰۰۱۲ -۰.۰۲۸۰۲۳; ۰ ۰.۰۰۳۴۰۴ -۰.۰۰۰۸۳۶];
```

```
U_bar = zeros(۱,۱);
```

```
% # gravitational potential function
```

```
for n = ۲:۳
```

```
for m = ۱:n
```

```
U_bar = U_bar +(RB/(r))^n*P_sinphi(n,m)+C(n,m)*cos(m*landa)+S(n,m)*sin(m*landa);
```

```
end
```

```
end
```

```
U = (G*ma/r)*(۱+U_bar);
```

```
ux = U*sin(phi)*cos(landa);
```

```
uy = U*sin(phi)*sin(landa);
```

```
uz = U*cos(phi);
```

```
U = [ux uy uz];
```

```
end
```

پیوست ۴

```
clear;
clc;
close all;
```

داده‌های مساله

```
N=۱۰۰۰;
T=۰.۱;
Mc=۱۵۰;
R=۱۶e۳;
Ma=۶.۶۸۷e۱۵;
G=۶.۶۷e-۱۱;
w=۱.۱۲e-۷;
```

داده‌دهی رندوم برای ورودی کنترلی f که در تابع پتانسیل گرانشی اعمال می‌شود:

```
u۱=۲+۵*randn(۱,N);
u۲=۲+۵*randn(۱,N);
u۳=۲+۵*randn(۱,N);

for i=۱:N
    u۱(i)=u۱(i)+۰.۱*I;
    u۲(i)=u۲(i)+۰.۱*I;
    u۳(i)=u۳(i)+۰.۱*I;
end
```

مدلسازی نویز:

```
noise۱=۰.۰۰۰۱*randn(۱,N);
noise۲=۰.۰۰۰۱*randn(۱,N);
noise۳=۰.۰۰۰۱*randn(۱,N);

x۱=zeros(۱,N);
x۲=zeros(۱,N);
x۳=zeros(۱,N);
x۴=zeros(۱,N);
```

```
xΔ=zeros(1,N);
```

```
xϕ=zeros(1,N);
```

```
for i=1:N-1
```

```
    x1(i+1)=x1(i)+T*x2(i);
```

```
    x2(i+1)=x2(i)+2*T*w*xϕ(i)+(1/Mc)*T*u1(i)+T*G*Mc*Ma/(R+x1(i))^2+noise1(i);
```

```
    x3(i+1)=x3(i)+T*x4(i);
```

```
    x4(i+1)=x4(i)-T*w^2*x3(i)+(1/Mc)*T*u2(i)+T*G*Mc*Ma/(R+x3(i))^2+noise2(i);
```

```
    xΔ(i+1)=xΔ(i)+T*xϕ(i);
```

```
    xϕ(i+1)=xϕ(i)-
```

```
    2*T*w*x2(i)+3*T*w^2*xΔ(i)+(1/Mc)*T*u3(i)+T*G*Mc*Ma/(R+xΔ(i))^2+noise3(i);
```

```
end
```

```
U=[u1' u2' u3'];
```

```
Y=[x1' x3' xΔ'];
```


پیوست ۵

مدلسازی گرانش برای شبکه‌ی عصبی

```
function [U] = gravitational_potential(~,x)

global RB G ma

r = sqrt(x(۱)^۲+x(۲)^۲+x(۳)^۲)+RB;

phi = atan۲( sqrt(x(۱)^۲+x(۲)^۲),x(۳)); % # latitude angle

landa = atan۲(x(۲),x(۱)); % # Longitudinal angle

% # Legendre coefficients
P۰۰ = ۱; P۱۰ = sin(phi); P۱۱ = cos(phi);
P۲۰ = ۰/۵*(۳*sin(phi)^۲-۱); P۲۱ = ۳*sin(phi)*cos(phi); P۲۲ = ۳*cos(phi)^۲*sin(phi);
P۳۰ = ۰/۵*(۵*sin(phi)^۳-۳*sin(phi)); P۳۱ = ۰/۵*cos(phi)*(۱۵*sin(phi)^۲-۳); P۳۲ =
۱۵*cos(phi)^۲*sin(phi);
P_sinphi = [P۰۰ P۱۰ P۱۱;P۲۰ P۲۱ P۲۲;P۳۰ P۳۱ P۳۲];

% # Stokes' coefficients
C = [۰ ۰/۰۰۱۱۷۵ -۰/۰۰۰۳۴۸;-۰/۰۵۲۸۵۱ ۰/۰۰۰۱۰۲ ۰/۰۸۳۲۰۳; -۰/۰۰۱۷۴۷ ۰/۰۰۴۰۸۳ ۰/۰۰۲۱۲۹];
S = [۰ ۰/۰۰۰۰۸۸;۰ ۰/۰۰۰۰۱۲ -۰/۰۲۸۰۲۳; ۰ ۰/۰۰۳۴۰۴ -۰/۰۰۰۸۳۶];

U_bar = zeros(۱,۱);

% # gravitational potential function
for n = ۲:۳
    for m = ۱:n
        U_bar = U_bar +(RB/(r))^n*P_sinphi(n,m)+C(n,m)*cos(m*landa)+S(n,m)*sin(m*landa);
    end
end

U = (G*ma/r)*(۱+U_bar);
```

```
ux = U*sin(phi)*cos(landa);
```

```
uy = U*sin(phi)*sin(landa);
```

```
uz = U*cos(phi);
```

```
U = [ux uy uz];
```

```
end
```

پیوست ۶

شبکه عصبی چند لایه

```
% Solve an Input-Output Fitting problem with a Neural Network
```

```
% This script assumes these variables are defined:
```

```
% U - input data.
```

```
% Y - target data.
```

```
x = U';
```

```
t = Y';
```

```
% Choose a Training Function
```

```
% For a list of all training functions type: help nntrain
```

```
% 'trainlm' is usually fastest.
```

```
% 'trainbr' takes longer but may be better for challenging problems.
```

```
% 'trainscg' uses less memory. Suitable in low memory situations.
```

```
trainFcn = 'trainlm'; % Levenberg-Marquardt backpropagation.
```

```
% Create a Fitting Network
```

```
hiddenLayerSize = 10;
```

```
net = fitnet(hiddenLayerSize,trainFcn);
```

```
% Choose Input and Output Pre/Post-Processing Functions
```

```
% For a list of all processing functions type: help nnprocess
```

```
net.input.processFcns = {'removeconstantrows','mapminmax'};
```

```
net.output.processFcns = {'removeconstantrows','mapminmax'};
```

```
% Setup Division of Data for Training, Validation, Testing
```

```
% For a list of all data division functions type: help nndivision
```

```
net.divideFcn = 'dividerand'; % Divide data randomly
```

```
net.divideMode = 'sample'; % Divide up every sample
```

```
net.divideParam.trainRatio = 100/100;
```

```

net.divideParam.valRatio = ۱۰۰/۱۵;
net.divideParam.testRatio = ۱۰۰/۱۵;

% Choose a Performance Function
% For a list of all performance functions type: help nnperformance
net.performFcn = 'mse'; % Mean Squared Error

% Choose Plot Functions
% For a list of all plot functions type: help nnplot
net.plotFcns = {'plotperform','plottrainstate','ploterrhist', ...
    'plotregression','plotfit'};

% Train the Network
[net,tr] = train(net,x,t);

% Test the Network
y = net(x);
e = gsubtract(t,y);
performance = perform(net,t,y)

% Recalculate Training, Validation and Test Performance
trainTargets = t .* tr.trainMask{1};
valTargets = t .* tr.valMask{1};
testTargets = t .* tr.testMask{1};
trainPerformance = perform(net,trainTargets,y)
valPerformance = perform(net,valTargets,y)
testPerformance = perform(net,testTargets,y)

% View the Network
view(net)

% Plots
% Uncomment these lines to enable various plots.

```

```
./figure, plotperform(tr)
```

```
./figure, plottrainstate(tr)
```

```
./figure, ploterrhist(e)
```

```
./figure, plotregression(t,y)
```

```
./figure, plotfit(net,x,t)
```

```
%. Deployment
```

```
%. Change the (false) values to (true) to enable the following code blocks.
```

```
%. See the help for each generation function for more information.
```

```
if (false)
```

```
    %. Generate MATLAB function for neural network for application
```

```
    %. deployment in MATLAB scripts or with MATLAB Compiler and Builder
```

```
    %. tools, or simply to examine the calculations your trained neural
```

```
    %. network performs.
```

```
    genFunction(net,'myNeuralNetworkFunction');
```

```
    y = myNeuralNetworkFunction(x);
```

```
end
```

```
if (false)
```

```
    %. Generate a matrix-only MATLAB function for neural network code
```

```
    %. generation with MATLAB Coder tools.
```

```
    genFunction(net,'myNeuralNetworkFunction','MatrixOnly','yes');
```

```
    y = myNeuralNetworkFunction(x);
```

```
end
```

```
if (false)
```

```
    %. Generate a Simulink diagram for simulation or deployment with.
```

```
    %. Simulink Coder tools.
```

```
    gensim(net);
```

```
end
```

منابع

- [۱] AlandiHallaj, M., & Assadian, N. (۲۰۱۷). Soft landing on an irregular shape asteroid using multiple-horizon multiple-model predictive control. *Acta Astronautica*, ۱۴۰, ۲۲۵-۲۳۴. doi:۱۰.۱۰۱۶/j.actaastro.۲۰۱۷.۰۸.۰۱۹
- [۲] جزوه‌ی درسی. درس شناسایی سیستم و تخمین پارامترهای پروازی. استاد درس: دکتر خوشنود. ۱۴۰۰-۱۳۹۹

ممنون از تدریس خوبتان.

با احترام

مهسا آزادمنش

شماره دانشجویی ۹۹۰۰۴۲۶